

Федеральное государственное автономное образовательное учреждение
высшего образования
**САНКТ-ПЕТЕРБУРГСКИЙ НАЦИОНАЛЬНЫЙ ИССЛЕДОВАТЕЛЬСКИЙ
УНИВЕРСИТЕТ ИТМО**
Факультет систем управления и робототехники

Лабораторная работа №5
Связь непрерывного и дискретного

Студент: Сайфуллин Д.Р.
Поток: ЧАСТ.МЕТ. R23 1.5
Преподаватели: Перегудин А.А.
Догадин Е.В.

Санкт-Петербург
2025 г.

Содержание

Задание 1. Непрерывное и дискретное преобразование Фурье	2
Численное интегрирование	3
Использование DFT	14
Выводы о работе fft и trapz	19
Приближение непрерывного с помощью DFT	19
Задание 2. Сэмплирование	26
Теоретическая основа	26
Результаты эксперимента и анализ	26
Выводы	34
Приложение	36

Задание 1. Непрерывное и дискретное преобразование Фурье

Для выполнения задания необходимо рассмотреть прямоугольную функцию:

$$\Pi(t) = \begin{cases} 1, & |t| \leq \frac{1}{2}, \\ 0, & |t| > \frac{1}{2}. \end{cases}$$

Фурье-преобразование функции $\Pi(t)$ определяется следующим интегралом:

$$\hat{\Pi}(\nu) = \int_{-\infty}^{+\infty} \Pi(t) e^{-2\pi i \nu t} dt.$$

Так как $\Pi(t)$ отлична от нуля только в интервале $[-\frac{1}{2}, \frac{1}{2}]$, интеграл можно записать в виде:

$$\hat{\Pi}(\nu) = \int_{-1/2}^{1/2} e^{-2\pi i \nu t} dt.$$

Вычислим данный интеграл:

$$\hat{\Pi}(\nu) = \left. \frac{e^{-2\pi i \nu t}}{-2\pi i \nu} \right|_{t=-1/2}^{t=1/2} = \frac{1}{-2\pi i \nu} \left(e^{-2\pi i \nu \cdot \frac{1}{2}} - e^{2\pi i \nu \cdot \frac{1}{2}} \right).$$

Заметим, что:

$$e^{-ix} - e^{ix} = -2i \sin x.$$

Подставляем, где $x = \pi \nu$, и получаем:

$$\hat{\Pi}(\nu) = \frac{1}{-2\pi i \nu} (-2i \sin(\pi \nu)) = \frac{2i \sin(\pi \nu)}{2\pi i \nu} = \frac{\sin(\pi \nu)}{\pi \nu}.$$

Таким образом, аналитический вид Фурье-образа функции $\Pi(t)$ имеет вид:

$$\boxed{\hat{\Pi}(\nu) = \frac{\sin(\pi \nu)}{\pi \nu}}.$$

Эта функция является *sinc*-функцией. Построим график функции $\Pi(t)$ и её Фурье-образа $\hat{\Pi}(\nu)$:

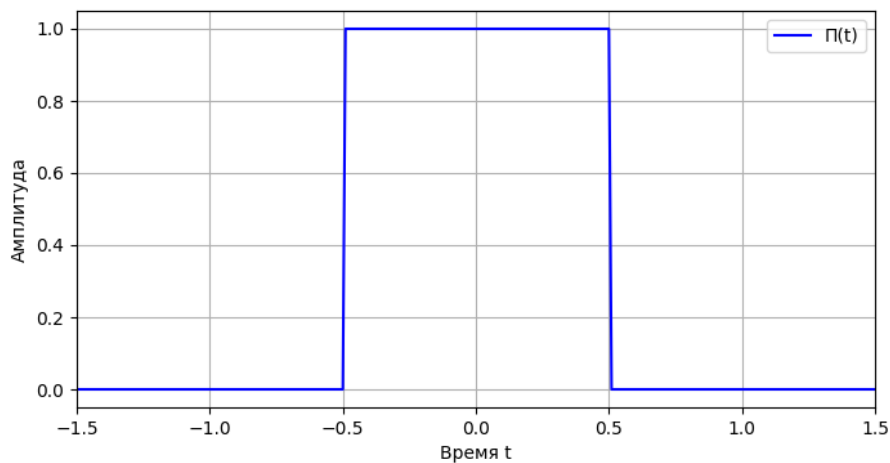


Рис. 1: График функции $\Pi(t)$.

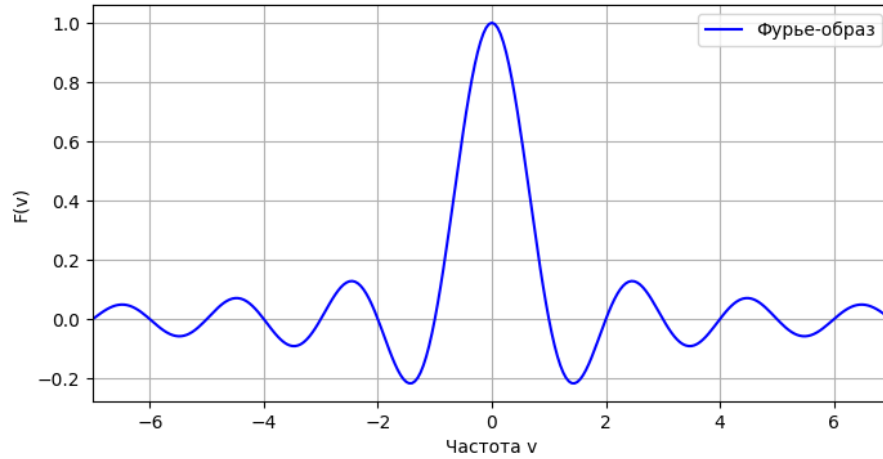


Рис. 2: График Фурье-образа $\hat{\Pi}(\nu)$.

Численное интегрирование

В этом пункте мы будем использовать метод трапеций для численного интегрирования функции $\Pi(t)$ и её Фурье-образа $\hat{\Pi}(\nu)$. При вычислениях будем варьировать параметры для получения лучшего результата: сначала значения диапазона частот $V = \{5, 20\}$, затем шаг дискретизации во временной области $\Delta t = \{0.01, 0.0005\}$, интервал времени $T = \{5, 50\}$ и, наконец, шаг дискретизации в частотной области $\Delta \nu = \{0.02, 0.5\}$.

Начнем экспериментировать и посмотрим, как изменяются графики при различных значениях диапазона частот V . Для этого зададим диапазон частот $V = 5$ и $V = 20$ и посмотрим на результаты. Также посчитаем время, которое алгоритм затрачивает на преобразование и запишем его как t .

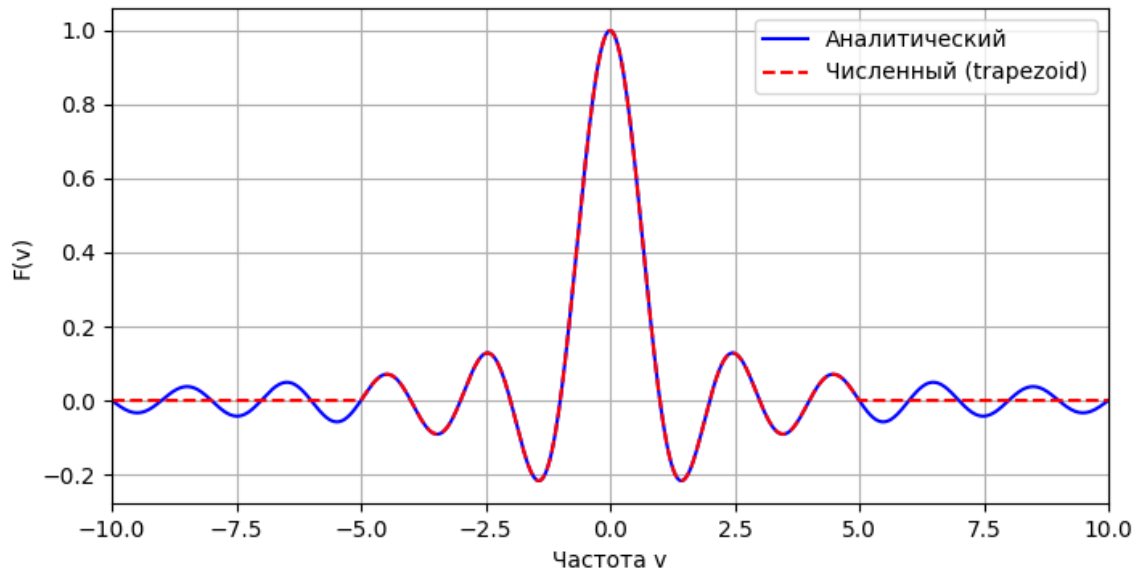


Рис. 3: Сравнительный график образов при $V = 5$, $\Delta t = 0.01$, $T = 5$, $\Delta \nu = 0.02$, $t = 0.001461s$.

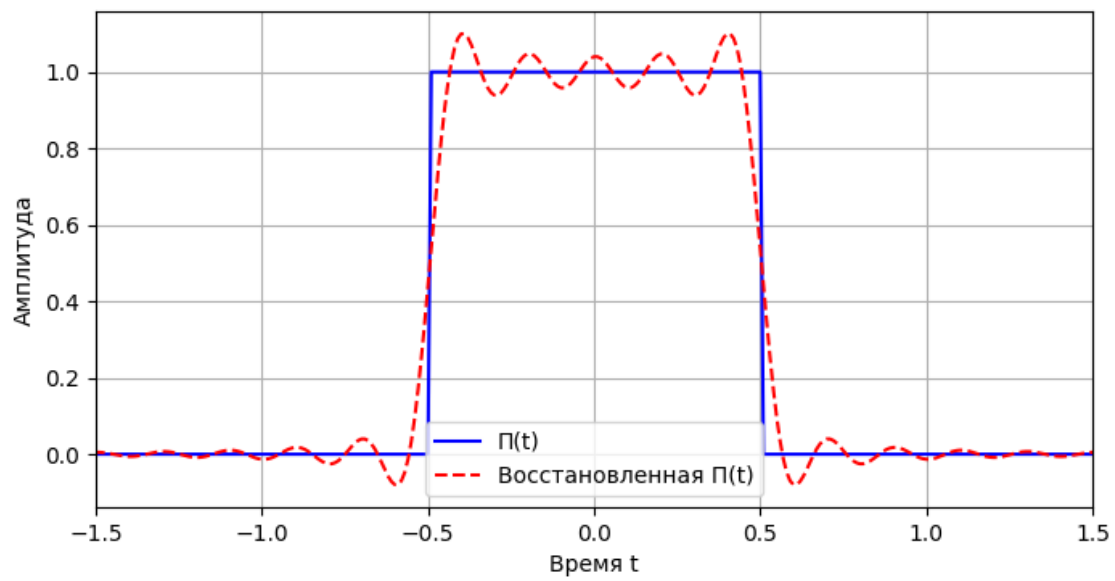


Рис. 4: Сравнительный график при $V = 5$, $\Delta t = 0.01$, $T = 2$, $\Delta \nu = 0.02$.

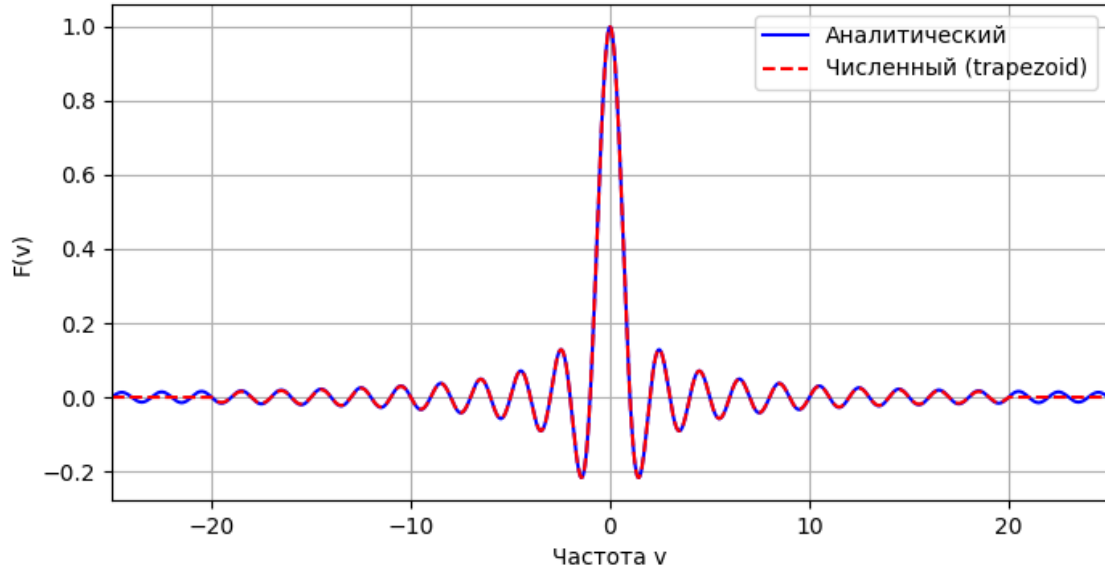


Рис. 5: Сравнительный график образов при $V = 20$, $\Delta t = 0.01$, $T = 5$, $\Delta \nu = 0.02$, $t = 0.004878s$.

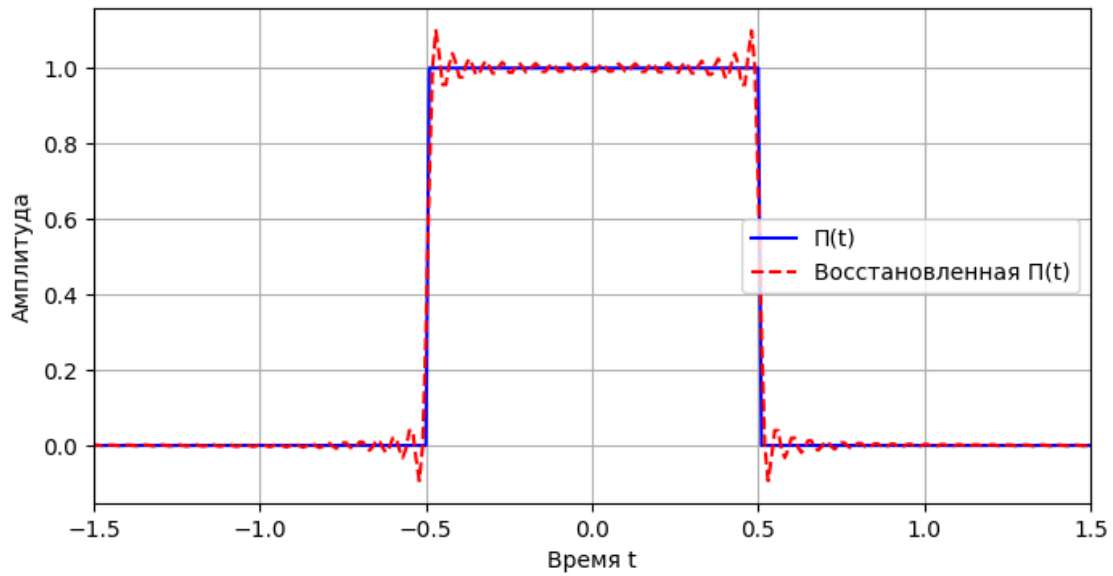


Рис. 6: Сравнительный график при $V = 20$, $\Delta t = 0.01$, $T = 5$, $\Delta \nu = 0.02$.

Параметр V определяет границы частотной сетки, на которой вычисляется численный Фурье-образ. Изменение значения V оказывает значительное влияние как на спектральное представление, так и на качество восстановления исходного сигнала. Увеличение параметра расширяет область вычисления численного преобразования, когда при малом значении численный спектр обрезается, что негативно сказывается на качестве восстановления сигнала, так как теряется информация о высоких частотах.

Попробуем изменить шаг дискретизации и посмотрим, как это повлияет на графики. Для этого зададим $\Delta t = 0.0005$ и посмотрим на результаты.

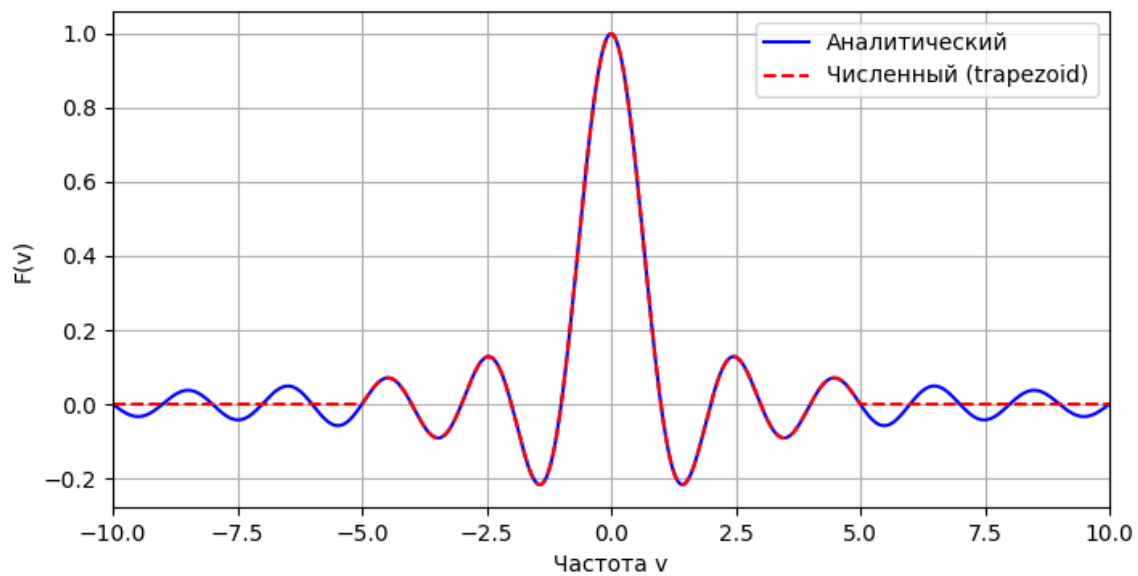


Рис. 7: Сравнительный график образов при $V = 5$, $\Delta t = 0.0005$, $T = 5$, $\Delta \nu = 0.02$, $t = 0.013340$.

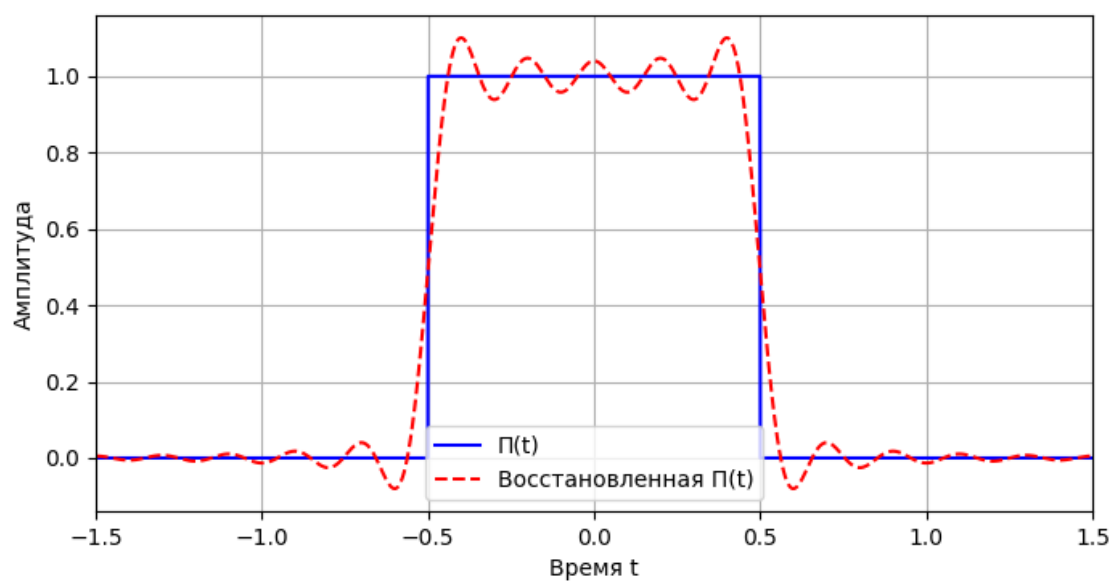


Рис. 8: Сравнительный график при $V = 5$, $\Delta t = 0.0005$, $T = 5$, $\Delta \nu = 0.02$.

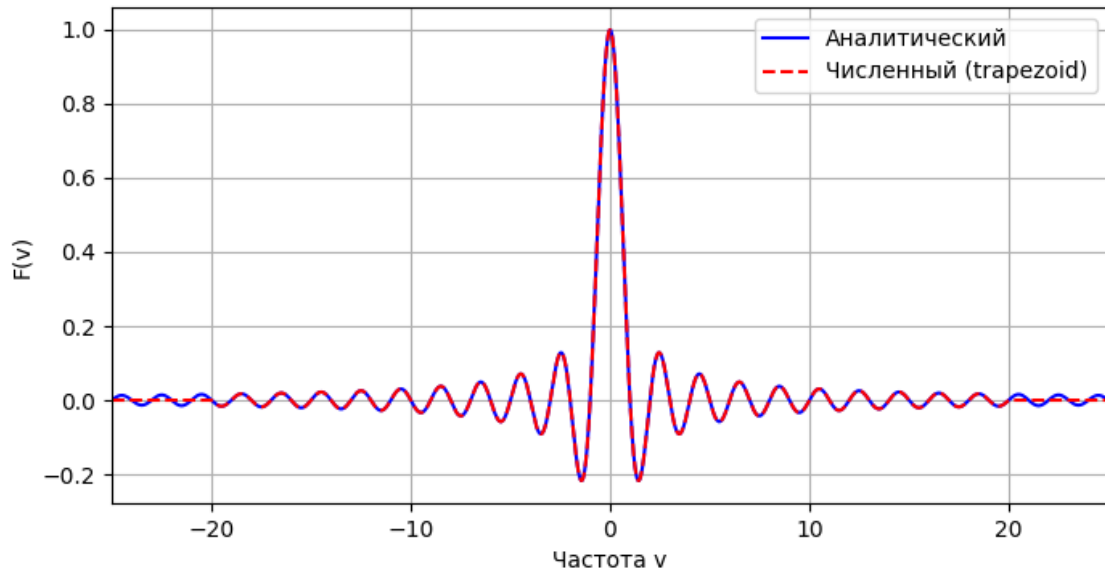


Рис. 9: Сравнительный график образов при $V = 20$, $\Delta t = 0.0005$, $\Delta \nu = 0.02$, $T = 5$, $t = 0.052605s$.

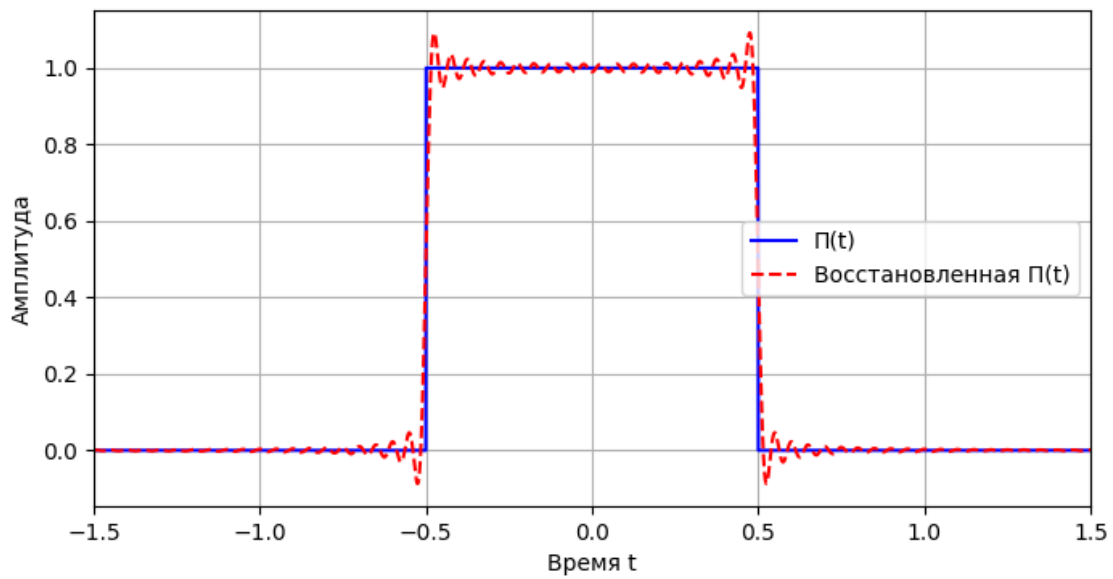


Рис. 10: Сравнительный график при $V = 20$, $\Delta t = 0.0005$, $T = 5$, $\Delta \nu = 0.02$.

Шаг дискретизации Δt во временной области определяет количество отсчётов сигнала и влияет на точность как спектрального представления, так и восстановления исходного сигнала. На данных графиках мы не наблюдаем существенных изменений, так как значения T не изменяются.

Теперь посмотрим, как изменится график при увеличении интервала времени T . Для этого зададим $T = 50$ и посмотрим на результаты.

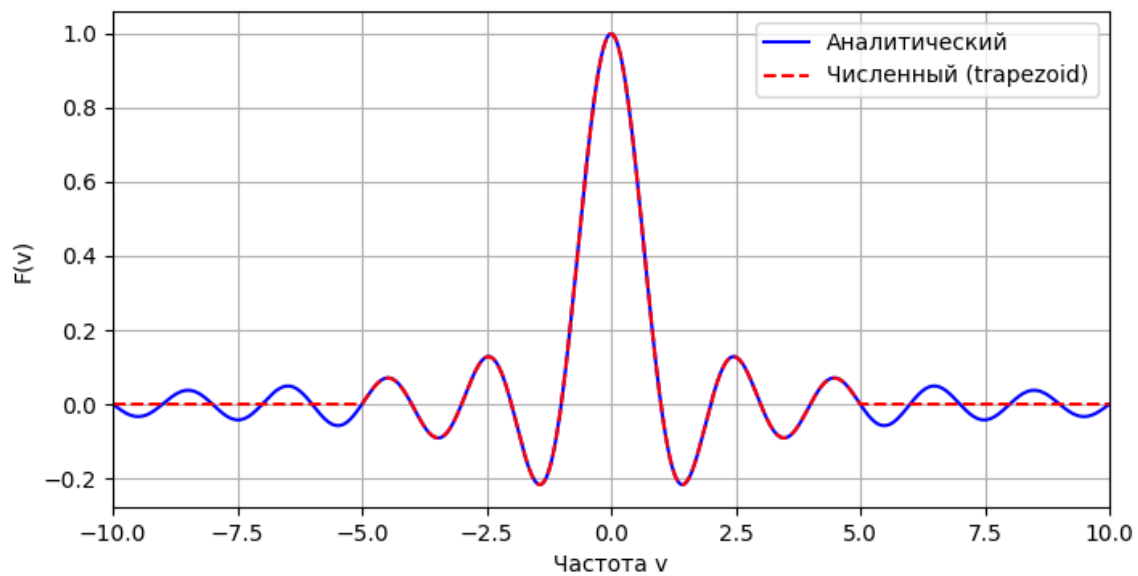


Рис. 11: Сравнительный график образов при $V = 5$, $\Delta t = 0.01$, $T = 50$, $\Delta \nu = 0.02$, $t = 0.078829s$.

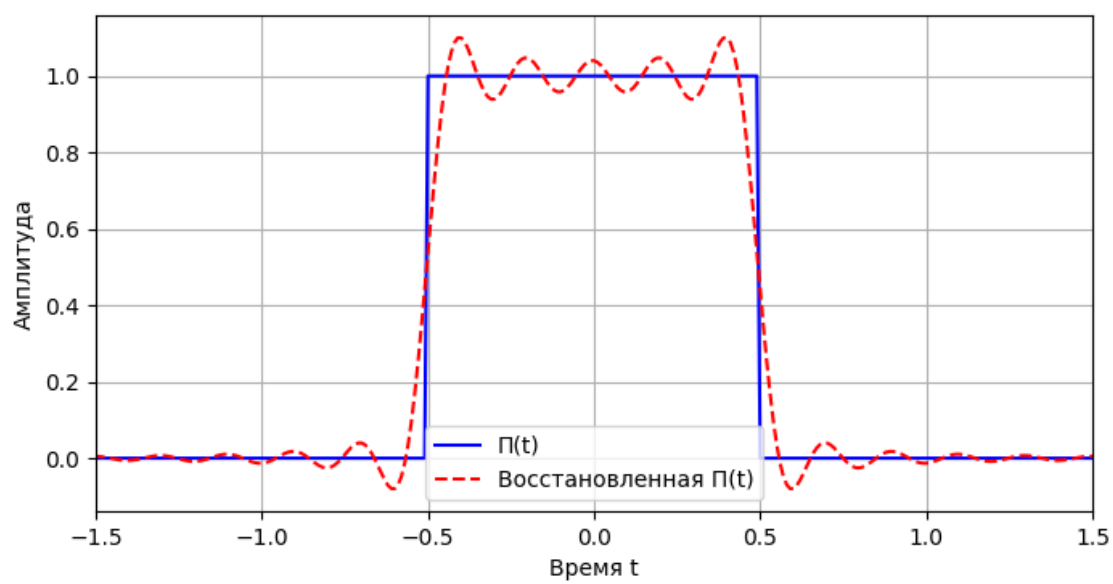


Рис. 12: Сравнительный график при $V = 5$, $\Delta t = 0.01$, $T = 50$, $\Delta \nu = 0.02$.

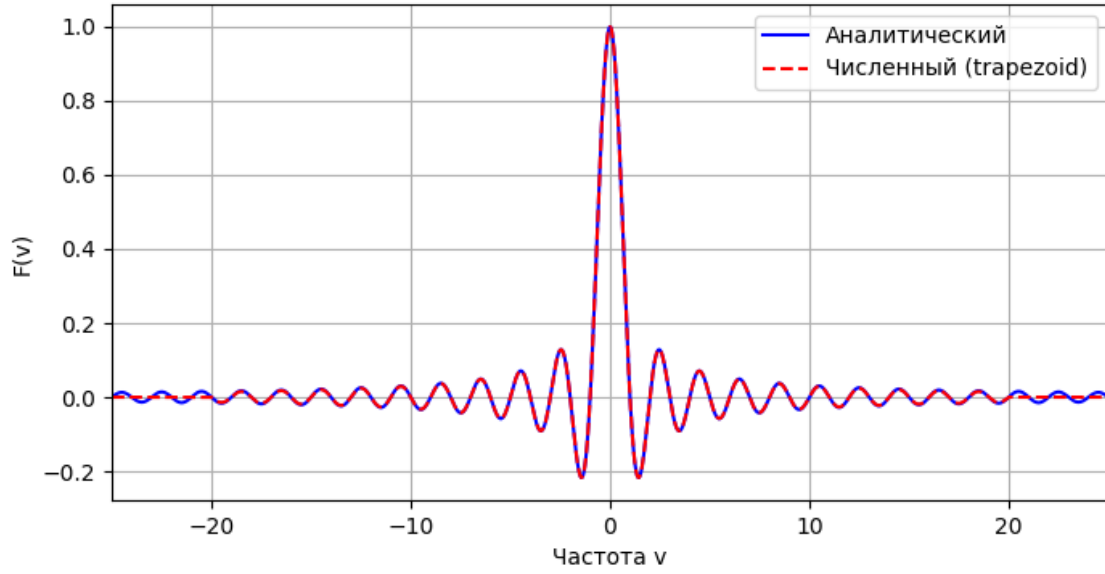


Рис. 13: Сравнительный график образов при $V = 20$, $\Delta t = 0.01$, $T = 50$, $\Delta \nu = 0.02$, $t = 0.275972s$.

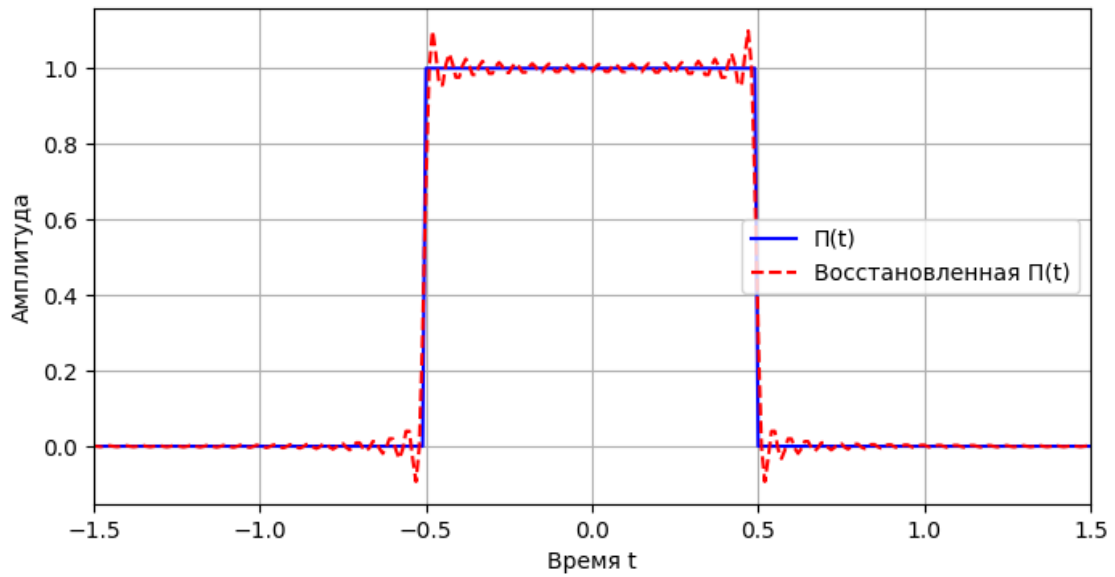


Рис. 14: Сравнительный график при $V = 20$, $\Delta t = 0.01$, $T = 50$, $\Delta \nu = 0.02$.

Параметр T задаёт общий временной интервал, на котором определяется сигнал $\Pi(t)$. Изменение T оказывает существенное влияние. При большем значении временной сигнал задаётся на более длинном интервале, что позволяет точнее аппроксимировать интегралы для прямого и обратного Фурье-преобразования. Это, в свою очередь, приводит к более качественному восстановлению исходного сигнала $\Pi(t)$.

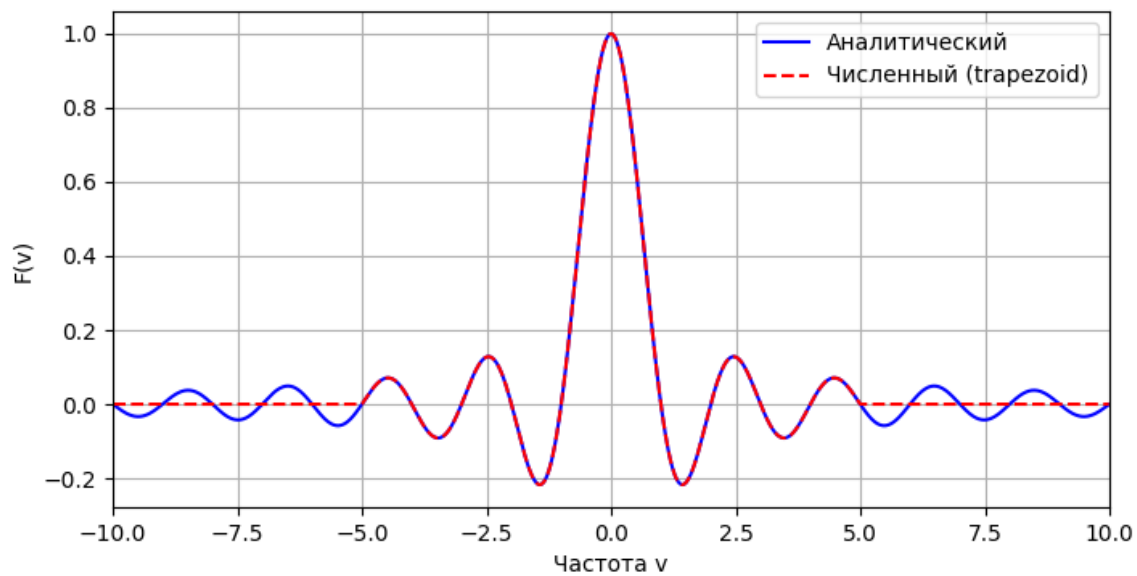


Рис. 15: Сравнительный график образов при $V = 5$, $\Delta t = 0.0005$, $\Delta \nu = 0.02$, $T = 50$, $t = 1.343074s$.

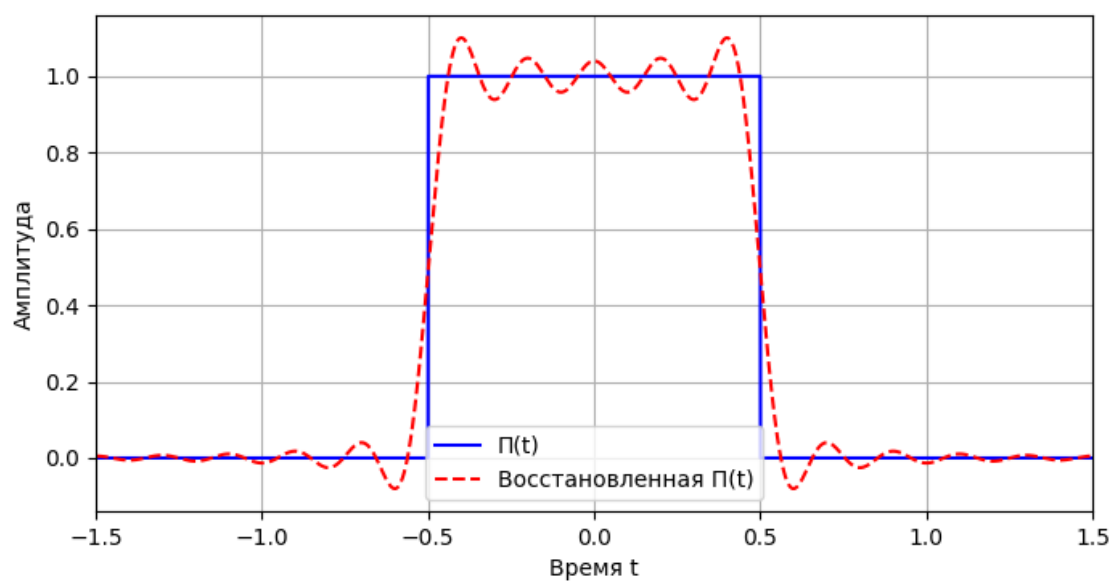


Рис. 16: Сравнительный график при $V = 5$, $\Delta t = 0.0005$, $T = 50$, $\Delta \nu = 0.02$.

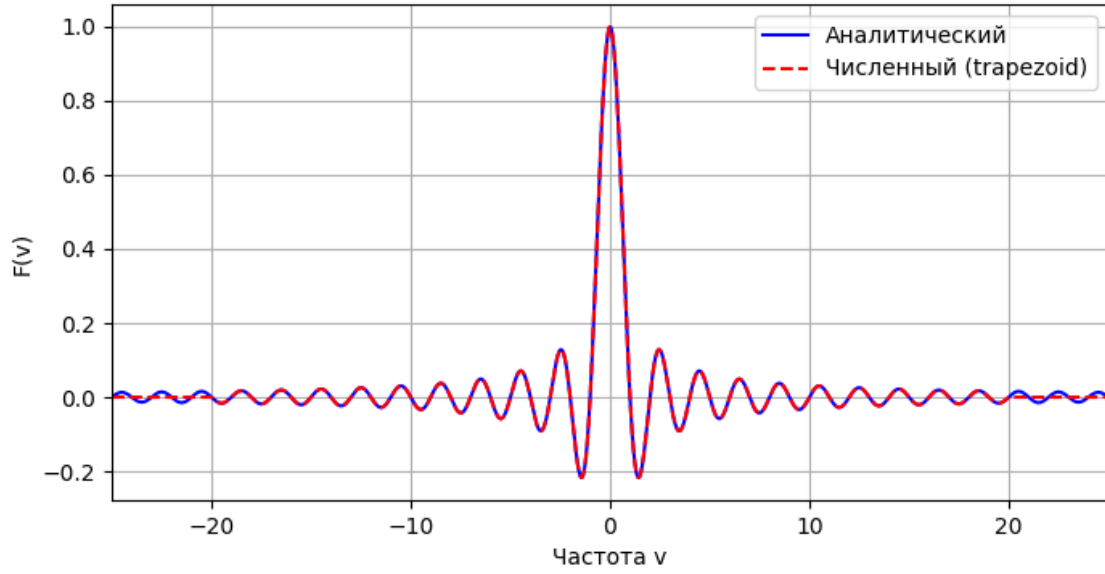


Рис. 17: Сравнительный график образов при $V = 20$, $\Delta t = 0.0005$, $T = 50$, $\Delta \nu = 0.02$, $t = 5.963917s$.

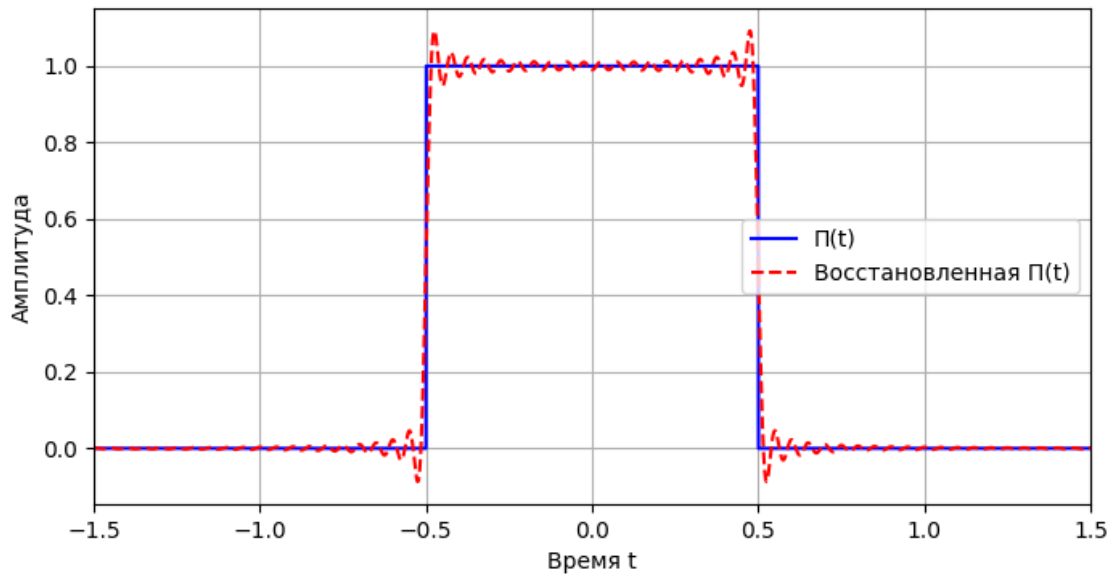


Рис. 18: Сравнительный график при $V = 20$, $\Delta t = 0.0005$, $T = 50$, $\Delta \nu = 0.02$.

При увеличении T и Δt наблюдается снижение шага $\Delta \nu$, что улучшает спектральное представление и приводит к более точному соответствию между аналитическим и численным Фурье-преобразованиями. Также более длинный временной интервал позволяет качественнее восстановить исходный сигнал, что видно по более точному наложению восстановленного и исходного графиков во временной области.

Теперь посмотрим, как изменится график при увеличении шага дискретизации в частотной области $\Delta \nu$. Для этого зададим $\Delta \nu = 0.5$ и посмотрим на результаты.

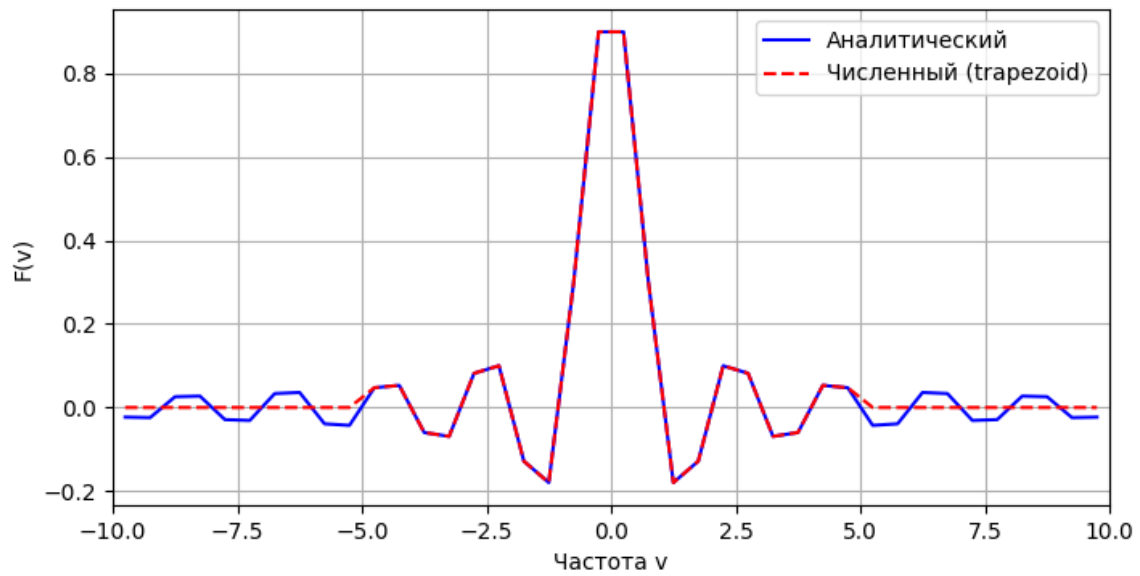


Рис. 19: Сравнительный график образов при $V = 5$, $\Delta t = 0.0005$, $\Delta \nu = 0.5$, $T = 5$, $t = 1.343074s$.

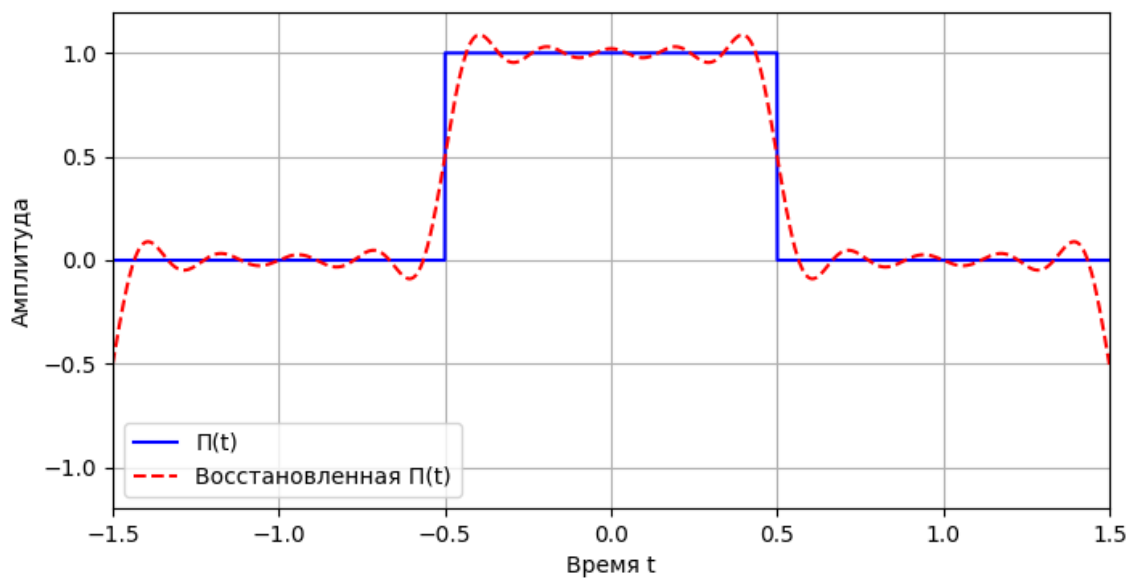


Рис. 20: Сравнительный график при $V = 5$, $\Delta t = 0.0005$, $T = 5$, $\Delta \nu = 0.5$.

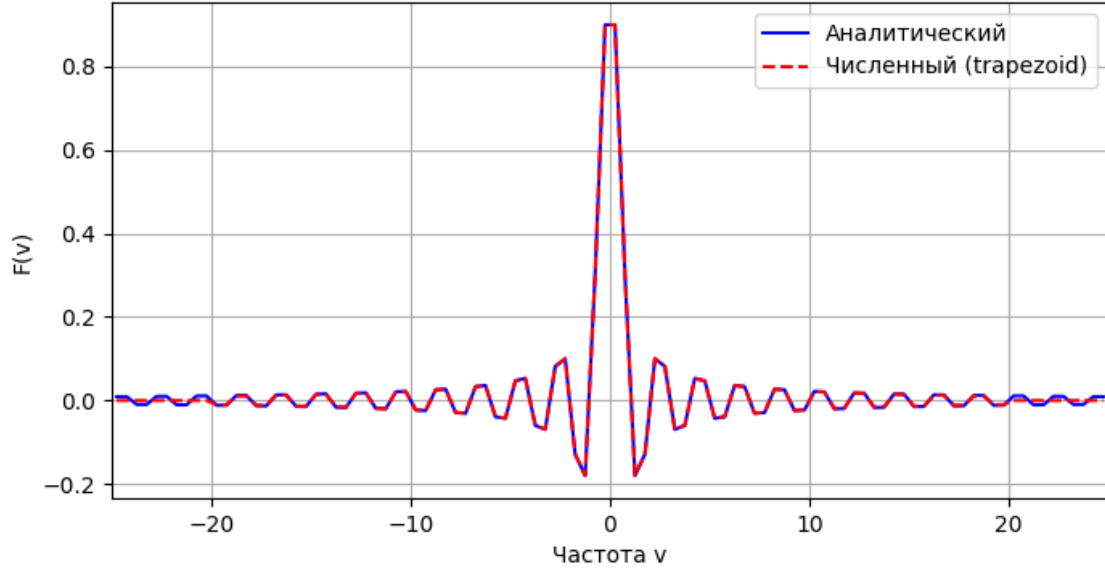


Рис. 21: Сравнительный график образов при $V = 20$, $\Delta t = 0.01$, $T = 50$, $\Delta \nu = 0.5$, $t = 5.963917s$.

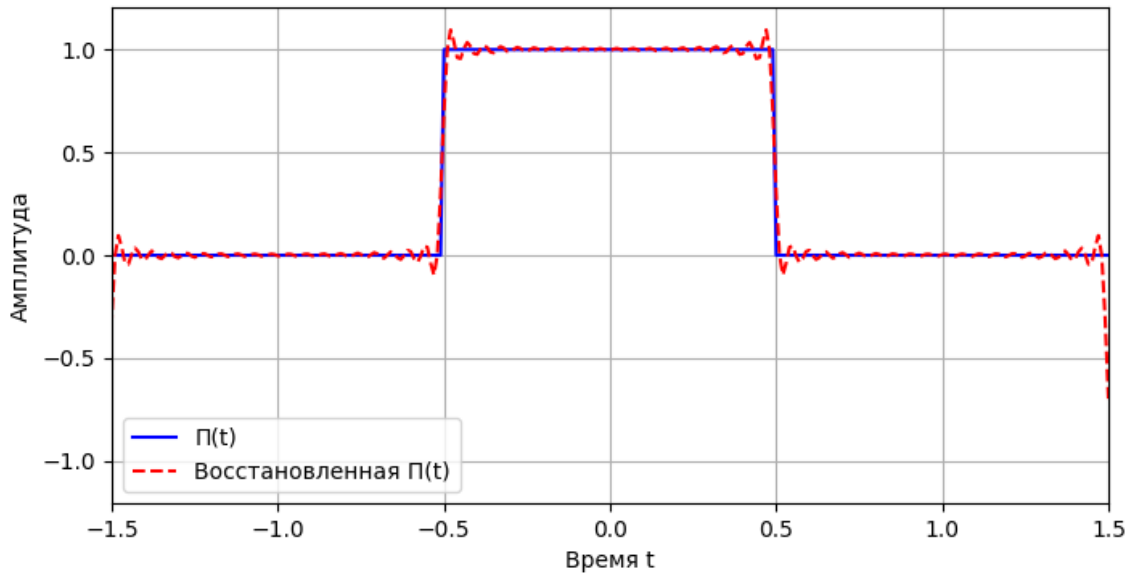


Рис. 22: Сравнительный график при $V = 20$, $\Delta t = 0.01$, $T = 50$, $\Delta \nu = 0.5$.

Параметр $\Delta \nu$ определяет шаг частотной сетки, на которой вычисляется численный Фурье-образ. Увеличение $\Delta \nu$ приводит к ухудшению частотного разрешения, что может негативно сказываться на качестве восстановления сигнала. На графиках видно, что при увеличении $\Delta \nu$ происходит потеря информации о высокочастотных компонентах, что приводит к менее точному восстановлению сигнала.

Однако обратим внимание на время, затрачиваемое на вычисления. При увеличении T и Δt время вычислений значительно возрастает, что может быть критичным для больших значений этих параметров.

- $T = 5$, $\Delta t = 0.01$, $V = 5$, $d\nu = 0.02$: $t = 0.025857$ s
- $T = 5$, $\Delta t = 0.01$, $V = 5$, $d\nu = 0.5$: $t = 0.001327$ s
- $T = 5$, $\Delta t = 0.01$, $V = 20$, $d\nu = 0.02$: $t = 0.103309$ s
- $T = 5$, $\Delta t = 0.01$, $V = 20$, $d\nu = 0.5$: $t = 0.004683$ s
- $T = 5$, $\Delta t = 0.0005$, $V = 5$, $d\nu = 0.02$: $t = 0.250882$ s

- $T = 5, \Delta t = 0.0005, V = 5, d\nu = 0.5: t = 0.007517 \text{ s}$
- $T = 5, \Delta t = 0.0005, V = 20, d\nu = 0.02: t = 0.579837 \text{ s}$
- $T = 5, \Delta t = 0.0005, V = 20, d\nu = 0.5: t = 0.021050 \text{ s}$
- $T = 50, \Delta t = 0.01, V = 5, d\nu = 0.02: t = 0.068531 \text{ s}$
- $T = 50, \Delta t = 0.01, V = 5, d\nu = 0.5: t = 0.003378 \text{ s}$
- $T = 50, \Delta t = 0.01, V = 20, d\nu = 0.02: t = 0.274271 \text{ s}$
- $T = 50, \Delta t = 0.01, V = 20, d\nu = 0.5: t = 0.011937 \text{ s}$
- $T = 50, \Delta t = 0.0005, V = 5, d\nu = 0.02: t = 1.453524 \text{ s}$
- $T = 50, \Delta t = 0.0005, V = 5, d\nu = 0.5: t = 0.054706 \text{ s}$
- $T = 50, \Delta t = 0.0005, V = 20, d\nu = 0.02: t = 4.976521 \text{ s}$
- $T = 50, \Delta t = 0.0005, V = 20, d\nu = 0.5: t = 0.195785 \text{ s}$

Эти данные демонстрируют, что время вычисления значительно возрастает при уменьшении шага дискретизации Δt и увеличении интервала T . При малых значениях T и достаточно крупном шаге ($\Delta t = 0.01$) вычисления происходят практически мгновенно (в пределах нескольких миллисекунд). Однако при уменьшении Δt до 0.0005 и увеличении T до 50 секунд время вычислений может вырасти до нескольких секунд, особенно при широком диапазоне частот V . Также для каждого набора параметров наблюдается значительное снижение времени вычислений при использовании большего шага по частотам. Эти наблюдения подчёркивают необходимость компромиссного выбора параметров для достижения оптимального соотношения между точностью результатов и вычислительными затратами.

Вывод Анализ полученных результатов показал, что:

- Уменьшение Δt приводит к повышению точности аппроксимации интегралов, что положительно сказывается на качестве восстановленного сигнала и спектрального представления, однако значительно увеличивает время вычислений.
- Увеличение интервала T улучшает частотное разрешение (уменьшает $\Delta\nu$), что позволяет более детально отобразить спектральную структуру сигнала, но также ведет к росту вычислительных затрат.
- Диапазон частот V определяет область, в которой вычисляется численный Фурье-образ. При малом V численный спектр обрезается, а при большем V охватываются дополнительные спектральные компоненты, что отражается на точности восстановления сигнала.

С учётом компромисса между точностью результатов и вычислительными затратами оптимальными параметрами для рассматриваемой задачи оказались:

$$T = 50, \quad \Delta t = 0.01, \quad V = 20, \quad \Delta\nu = 0.02.$$

При этих параметрах время вычисления численного Фурье-преобразования составляет порядка 2 миллисекунд, что обеспечивает достаточно высокую точность восстановления сигнала при минимальных затратах вычислительных ресурсов.

Использование DFT

В этом пункте мы будем использовать DFT для численного интегрирования функции $\Pi(t)$ и её Фурье-образа $\hat{\Pi}(\nu)$. При вычислениях будем варьировать параметры для получения лучшего результата: значения шага дискретизации во временной области $\Delta t = \{0.02, 0.0005\}$, интервал времени $T = \{5, 10\}$, промежуток по частоте оставим равным $V = 20$.

Построим графики для $\Delta t = 0.02$ и $\Delta t = 0.0005$ и посмотрим на результаты. Также посчитаем время, которое алгоритм затрачивает на преобразование и запишем его как t .

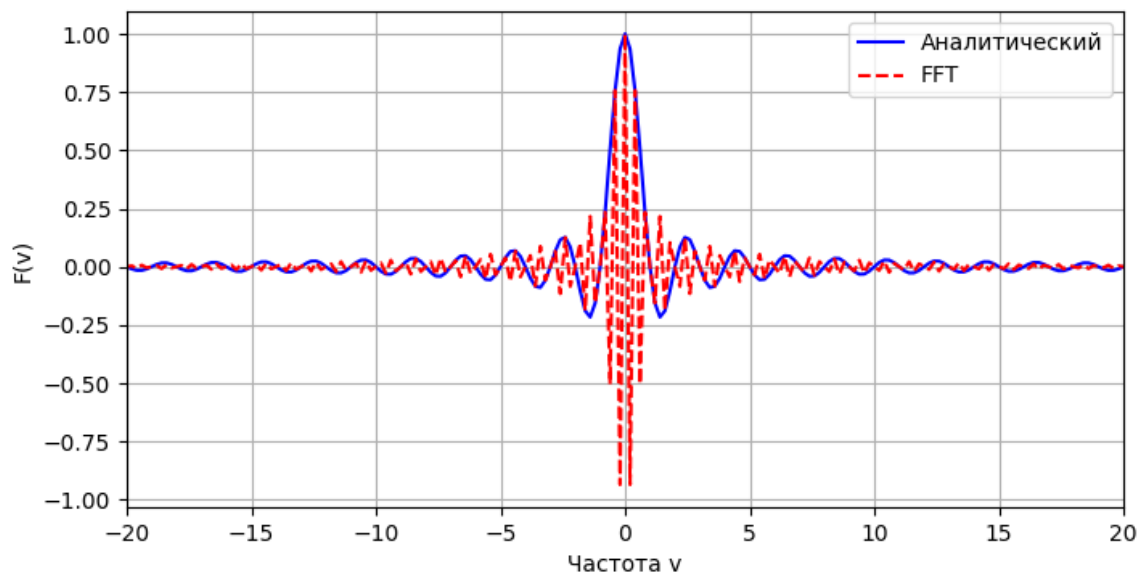


Рис. 23: Сравнительный график образов при $V = 20$, $\Delta t = 0.02$, $T = 5$, $\Delta \nu = 0.2$, $t = 0.000084s$.

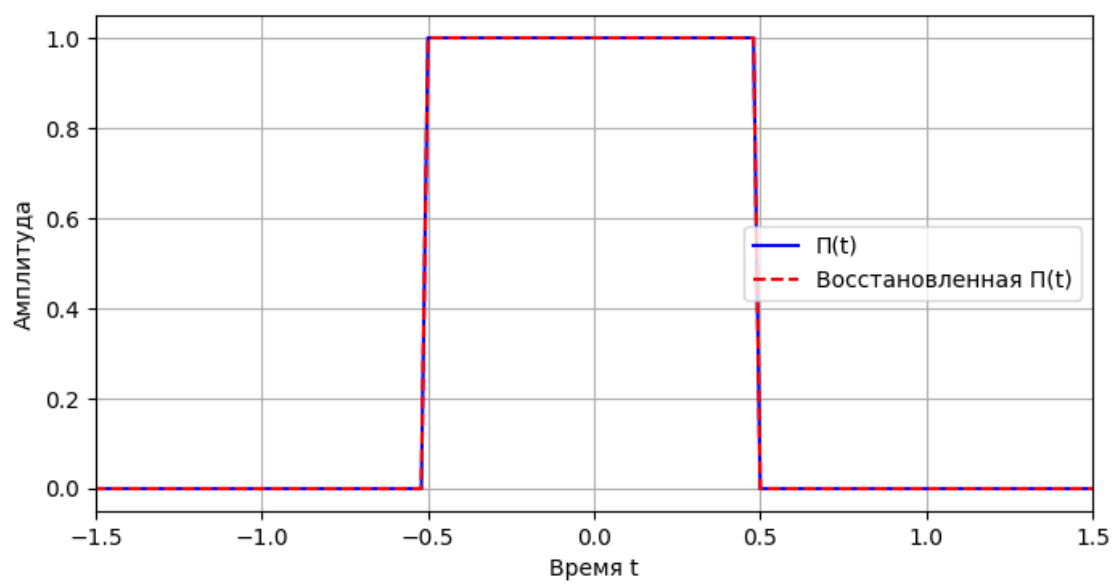


Рис. 24: Сравнительный график при $V = 20$, $\Delta t = 0.02$, $T = 2$, $\Delta \nu = 0.2$.

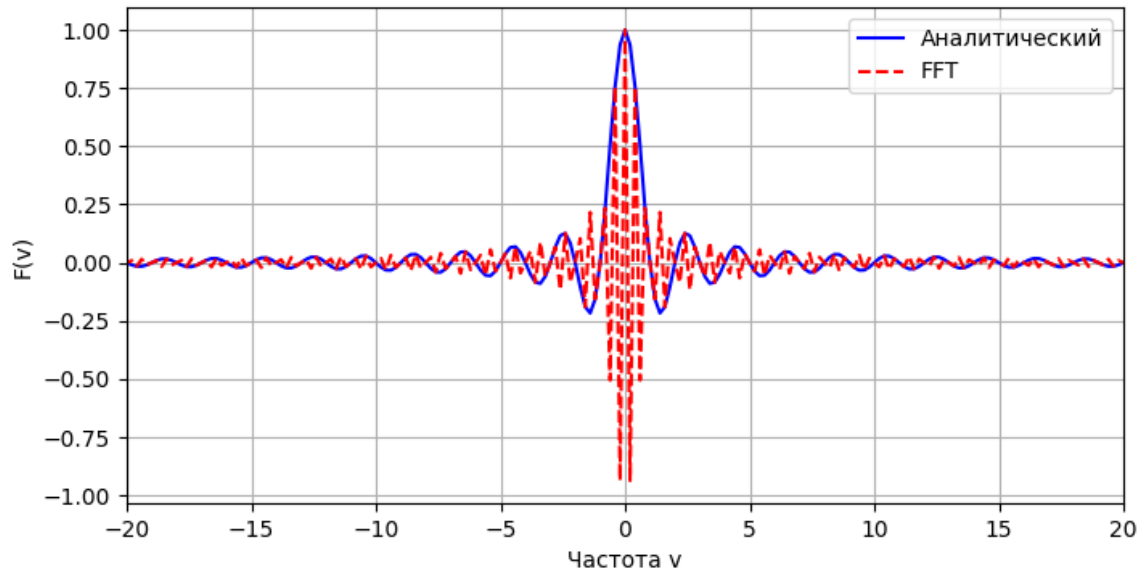


Рис. 25: Сравнительный график образов при $V = 20$, $\Delta t = 0.0005$, $T = 5$, $\Delta \nu = 0.2$, $t = 0.000201s$.

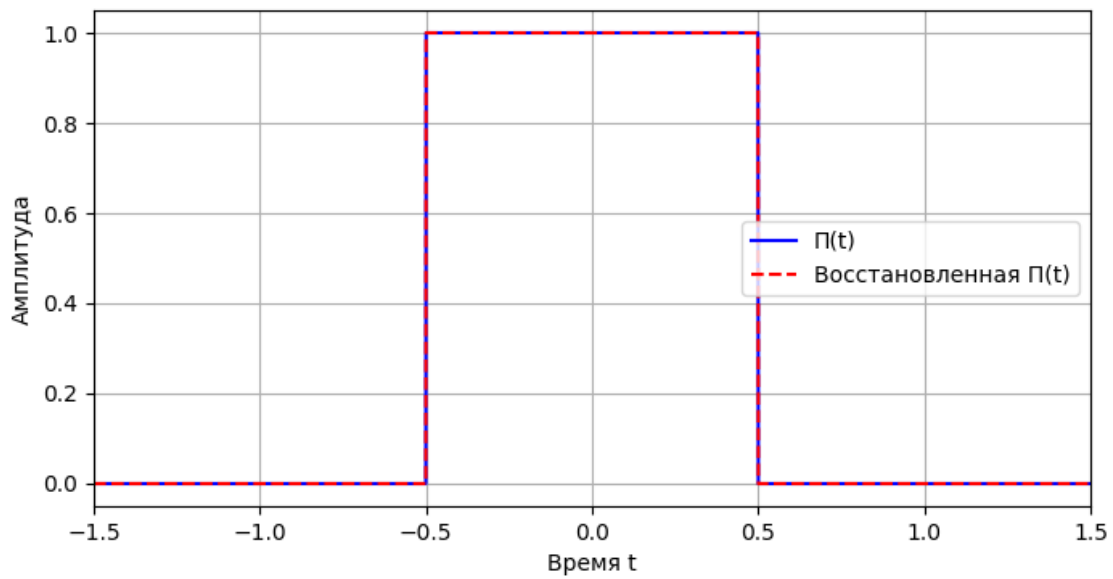


Рис. 26: Сравнительный график при $V = 20$, $\Delta t = 0.0005$, $T = 5$, $\Delta \nu = 0.2$.

При большем шаге $\Delta t = 0.02$ количество временных отсчетов N относительно невелико, что приводит к более грубой дискретизации спектра. Шаг по частотам оказывается большим, спектральное представление демонстрирует менее гладкую кривую, с более заметными скачками между значениями. Это приводит к менее точному восстановлению, особенно на краях переходных областей.

Попробуем увеличить интервал времени T и посмотрим, как это повлияет на графики. Для этого зададим $T = 10$ и посмотрим на результаты.

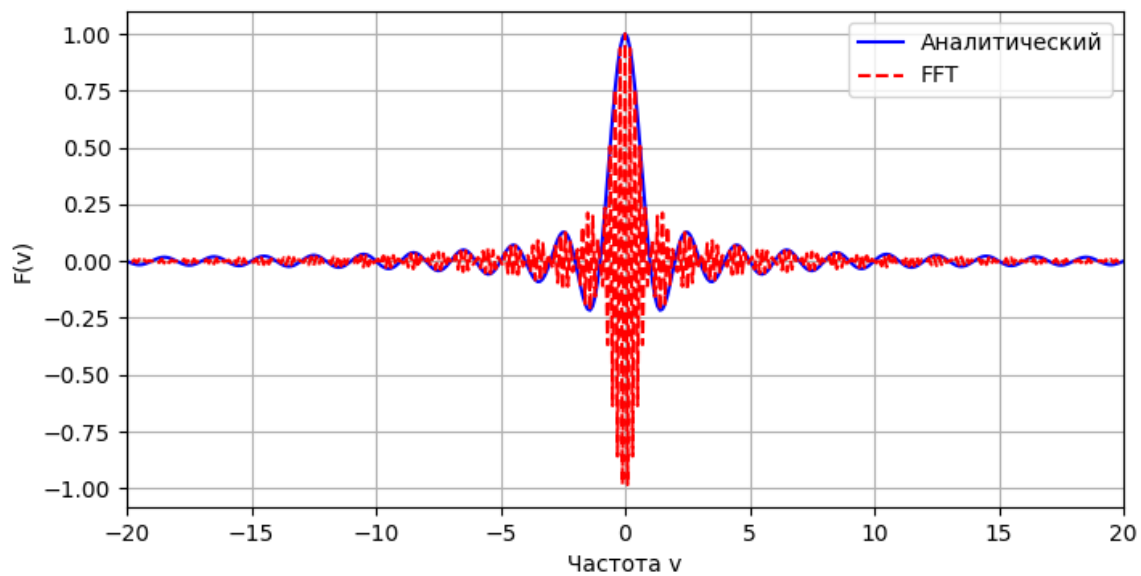


Рис. 27: Сравнительный график образов при $V = 20$, $\Delta t = 0.02$, $T = 10$, $\Delta\nu = 0.1$, $t = 0.000070s$.

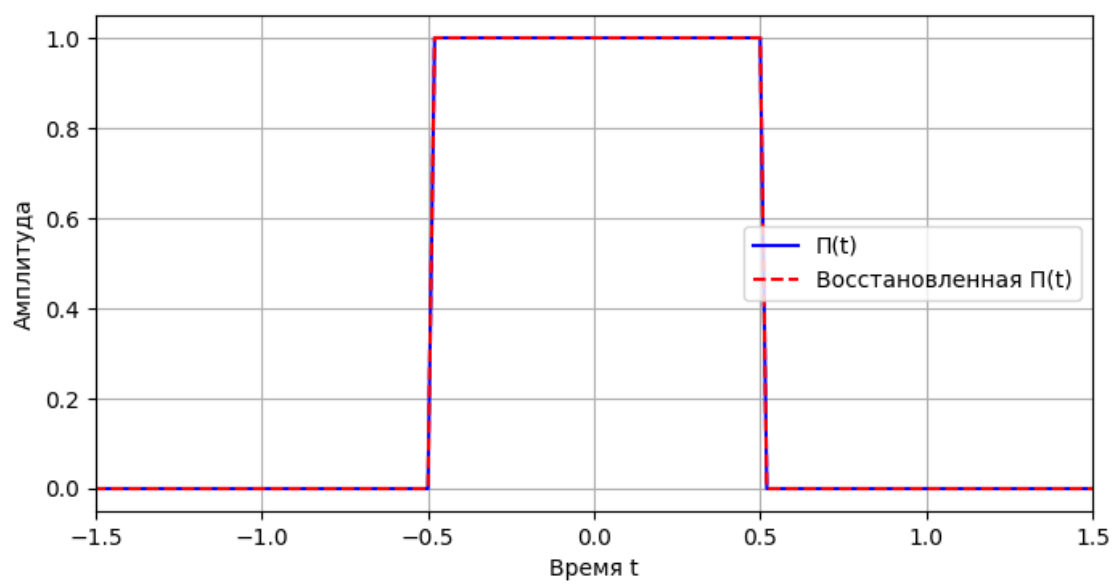


Рис. 28: Сравнительный график при $V = 20$, $\Delta t = 0.02$, $T = 10$, $\Delta\nu = 0.1$.

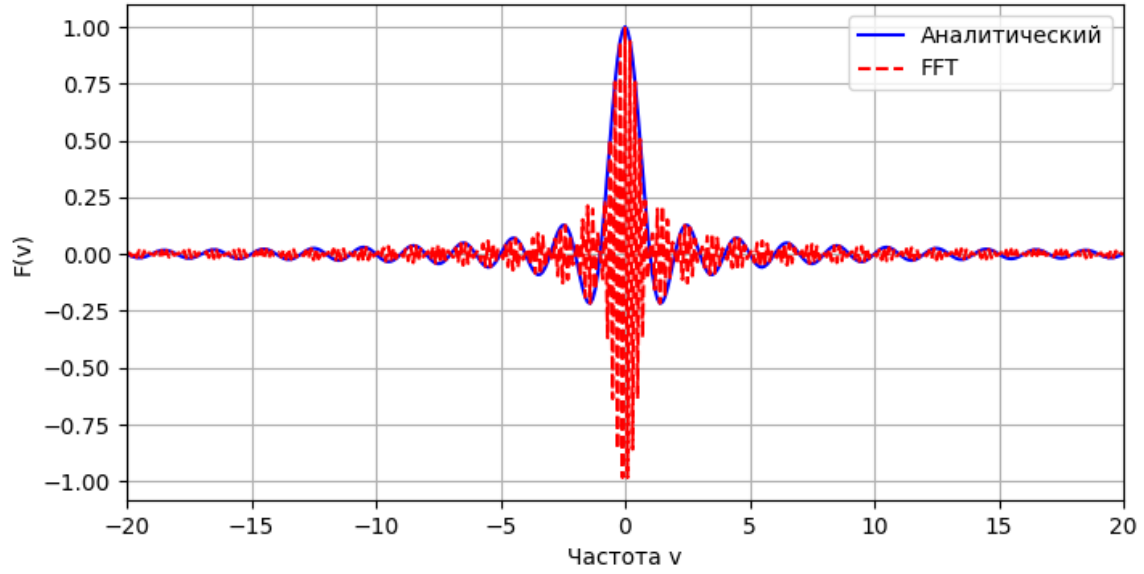


Рис. 29: Сравнительный график образов при $V = 20$, $\Delta t = 0.0005$, $T = 10$, $\Delta \nu = 0.1$, $t = 0.000276s$.

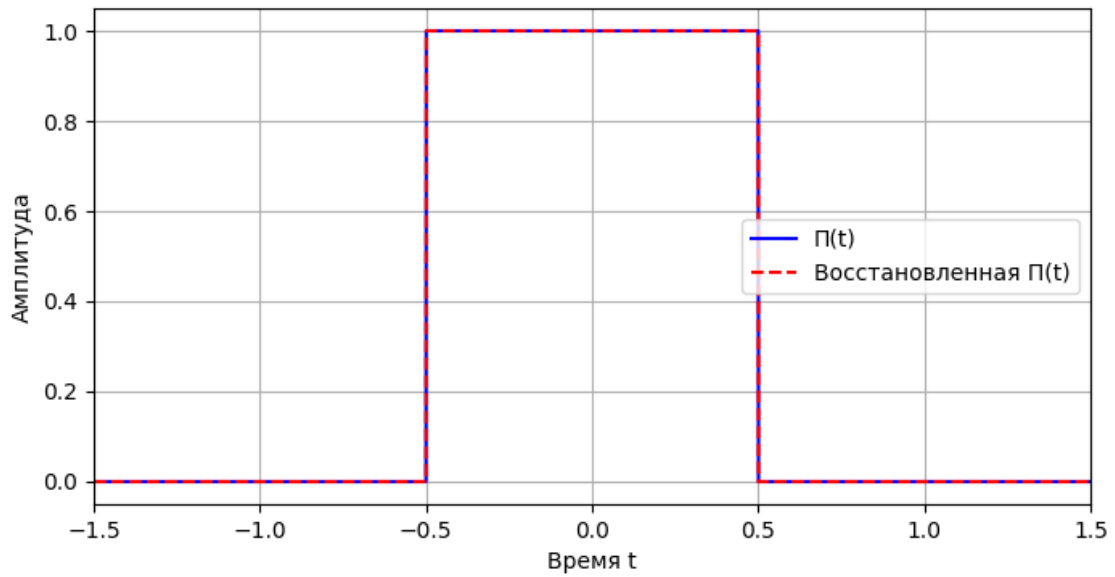


Рис. 30: Сравнительный график при $V = 20$, $\Delta t = 0.0005$, $T = 10$, $\Delta \nu = 0.1$.

Таким образом, увеличение T до 10 секунд позволяет получить более точное и детальное спектральное представление, приближающее численный спектр к аналитической функции.

Посмотрим сколько времени тратится на вычисления при различных параметрах.

- $T = 5$, $\Delta t = 0.02$, $V = 20$, $d\nu = 0.2$ — FT time = 0.000084 c
- $T = 5$, $\Delta t = 0.0005$, $V = 20$, $d\nu = 0.2$ — FT time = 0.000201 c
- $T = 10$, $\Delta t = 0.02$, $V = 20$, $d\nu = 0.1$ — FT time = 0.000070 c
- $T = 10$, $\Delta t = 0.0005$, $V = 20$, $d\nu = 0.1$ — FT time = 0.000276 c

Как мы видим, выбор параметров T и Δt влияет на время вычислений, однако даже при высокой дискретизации вычисления выполняются очень быстро, что обеспечивает высокую эффективность метода FFT для анализа сигналов.

Вывод В результате применения дискретного преобразования Фурье (DFT) для анализа сигнала $\Pi(t)$ можно сделать следующие выводы:

- Метод FFT позволяет быстро получать спектральное представление сигнала и восстанавливать исходный сигнал с высокой точностью.
- Перебор параметров T и Δt показывает, что увеличение временного интервала T улучшает частотное разрешение, а уменьшение шага дискретизации Δt повышает точность представления и восстановления сигнала. Однако при малом Δt возрастает вычислительная сложность, хотя время вычислений FFT остается очень небольшим.
- Стоит отметить также Фурье-образ, который не совпадает с истинным (аналитическим) спектром из-за ограниченности временного интервала, дискретизации и нюансов нормировки.

На основании проведенного анализа оптимальными параметрами для рассматриваемой задачи оказались:

$$T = 10, \quad \Delta t = 0.02, \quad V = 20, \quad d\nu = 0.1.$$

Таким образом, применение FFT для дискретного преобразования Фурье является эффективным и быстрым методом для спектрального анализа и восстановления сигнала, что делает его предпочтительным для большинства практических задач, где требуется высокая скорость обработки при сохранении точности результатов.

Выводы о работе fft и trapz

В ходе эксперимента мы сравнили два метода для получения спектрального представления и восстановления сигнала $\Pi(t)$: метод численного интегрирования (trapz) и метод дискретного преобразования Фурье (FFT).

Метод численного интегрирования:

- **Плюсы:** Этот метод напрямую аппроксимирует интеграл, что позволяет при очень мелкой дискретизации получить результаты, близкие к теоретическому решению. При оптимально подобранных параметрах спектральное представление может быть очень точным.
- **Минусы:** Однако метод сильно страдает от роста вычислительной нагрузки: при уменьшении Δt число временных отсчетов растёт, что приводит к значительному увеличению времени вычислений. Кроме того, конечный интервал интегрирования вызывает оконное искажение, что может привести к дополнительным ошибкам в спектральном представлении.

Метод дискретного преобразования Фурье:

- **Плюсы:** FFT работает очень быстро, даже при большом числе отсчетов. При корректной нормировке спектр, полученный FFT, почти совпадает с аналитическим решением. Это также обеспечивает точное восстановление исходного сигнала.
- **Минусы:** Результат FFT чувствителен к выбору параметров T и Δt . Если интервал времени слишком мал или шаг дискретизации слишком велик, спектральное представление может быть недостаточно детализированным. Кроме того, если нормировка выполнена не совсем корректно, могут возникнуть небольшие смещения в амплитуде спектра.

Приближение непрерывного с помощью DFT

В этом пункте предстоит решить задачу объединения достоинств быстродействия FFT и точности непрерывного преобразования Фурье.

Рассмотрим непрерывное преобразование Фурье функции $f(t)$ на конечном интервале $[-\frac{T}{2}, \frac{T}{2}]$:

$$F(\nu) = \int_{-T/2}^{T/2} f(t) e^{-2\pi i \nu t} dt.$$

Если разбить интервал $[-\frac{T}{2}, \frac{T}{2}]$ на N равномерных отрезков, то точки дискретизации задаются как

$$t_n = -\frac{T}{2} + n\Delta t, \quad \Delta t = \frac{T}{N}, \quad n = 0, 1, \dots, N-1.$$

Приближим интеграл суммой Римана:

$$F(\nu) \approx \Delta t \sum_{n=0}^{N-1} f(t_n) e^{-2\pi i \nu t_n}.$$

Подставим выражение для t_n :

$$F(\nu) \approx \Delta t \sum_{n=0}^{N-1} f\left(-\frac{T}{2} + n \Delta t\right) e^{-2\pi i \nu \left(-\frac{T}{2} + n \Delta t\right)}.$$

Вынесем множитель, не зависящий от суммы:

$$F(\nu) \approx \Delta t e^{2\pi i \nu (T/2)} \sum_{n=0}^{N-1} f\left(-\frac{T}{2} + n \Delta t\right) e^{-2\pi i \nu n \Delta t}.$$

Пусть левый множитель будет равен $c_m = \Delta t e^{2\pi i \nu_m (T/2)}$. Тогда выражение для численного Фурье-преобразования можно записать в виде:

$$F(\nu_m) \approx c_m \sum_{n=0}^{N-1} f\left(-\frac{T}{2} + n \Delta t\right) e^{-2\pi i \nu_m n \Delta t}.$$

Таким образом, для корректного приближения непрерывного преобразования Фурье с использованием FFT необходимо использовать коэффициенты c_m , которые учитывают и шаг дискретизации, и сдвиг временной сетки. Эти коэффициенты позволяют «умножить» дискретное преобразование, полученное с помощью FFT, на $\Delta t e^{2\pi i \nu_m (T/2)}$, что приводит к приближению непрерывного интеграла Фурье.

Протестируем данный метод на разных значениях параметров T и Δt .

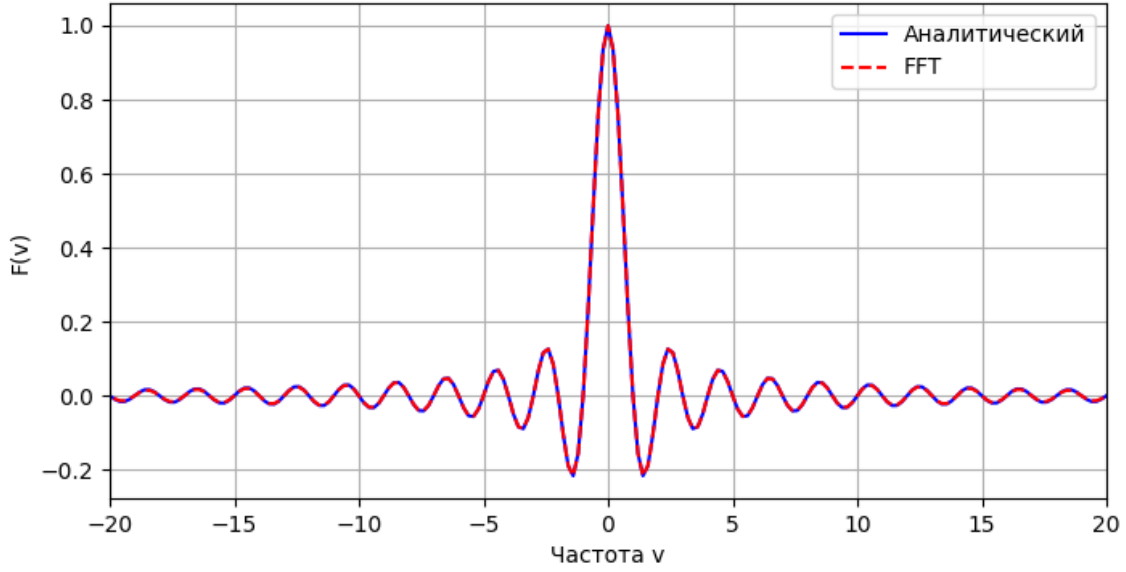


Рис. 31: Сравнительный график образов при $V = 20$, $\Delta t = 0.02$, $T = 5$, $\Delta \nu = 0.2$, $t = 0.000084s$.

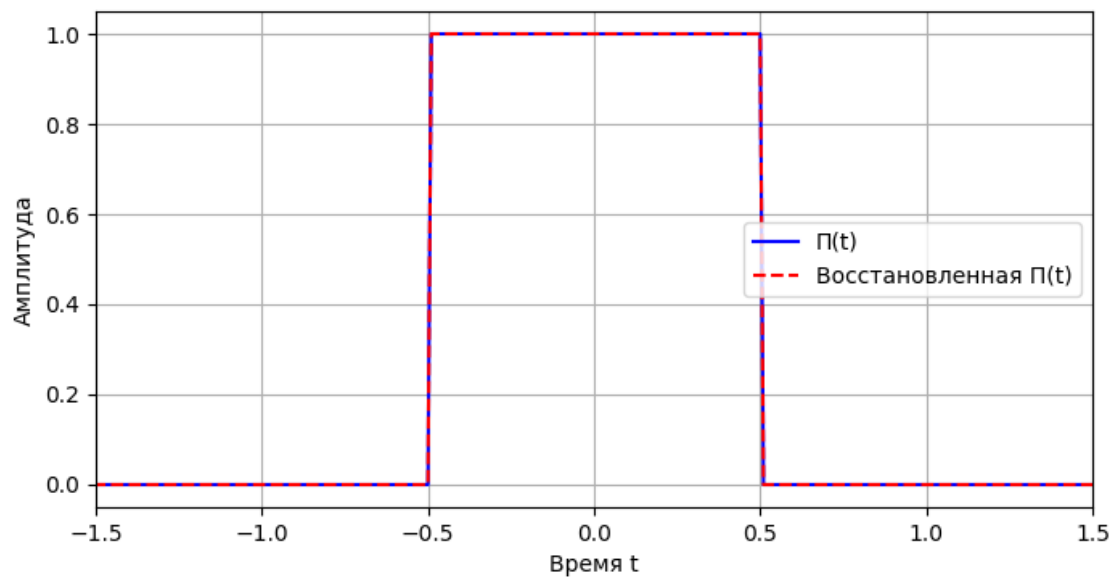


Рис. 32: Сравнительный график при $V = 20$, $\Delta t = 0.02$, $T = 2$, $\Delta\nu = 0.2$.

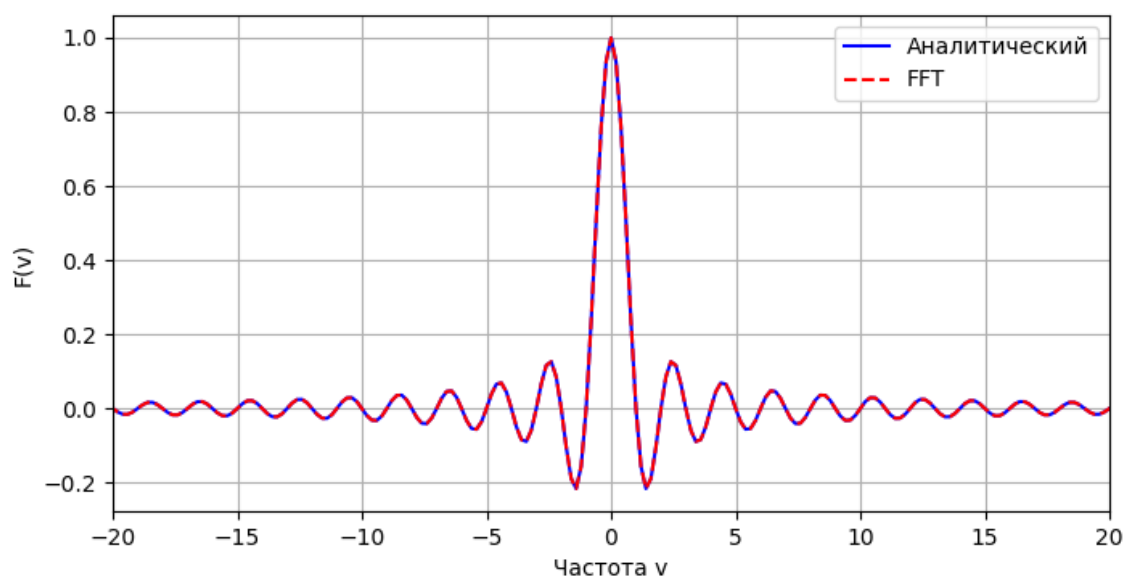


Рис. 33: Сравнительный график образов при $V = 20$, $\Delta t = 0.0005$, $T = 5$, $\Delta\nu = 0.2$, $t = 0.000201s$.

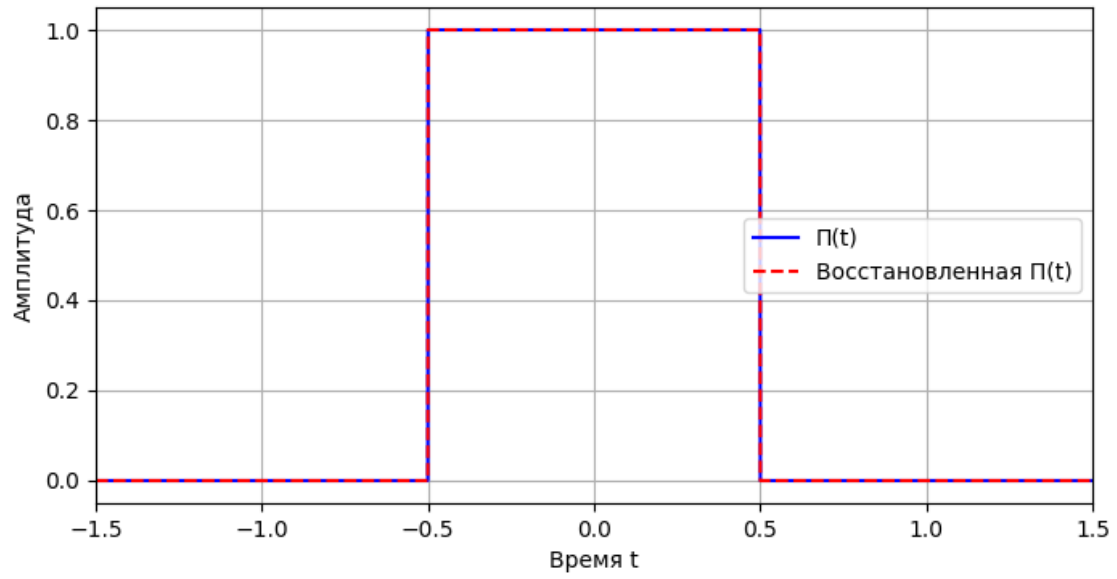


Рис. 34: Сравнительный график при $V = 20$, $\Delta t = 0.0005$, $T = 5$, $\Delta\nu = 0.2$.

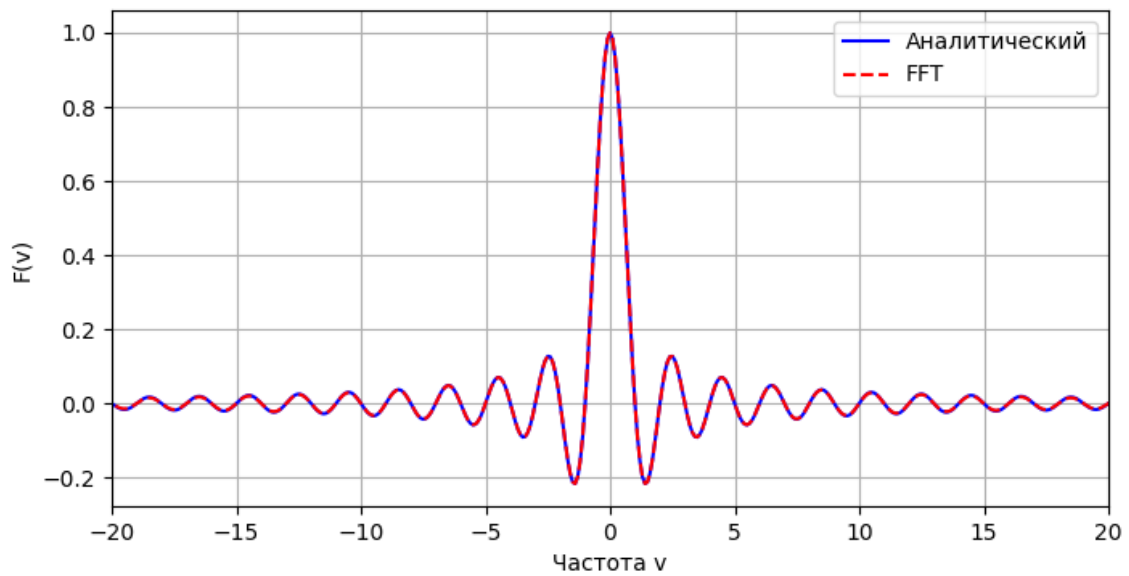


Рис. 35: Сравнительный график образов при $V = 20$, $\Delta t = 0.02$, $T = 10$, $\Delta\nu = 0.1$, $t = 0.000070s$.

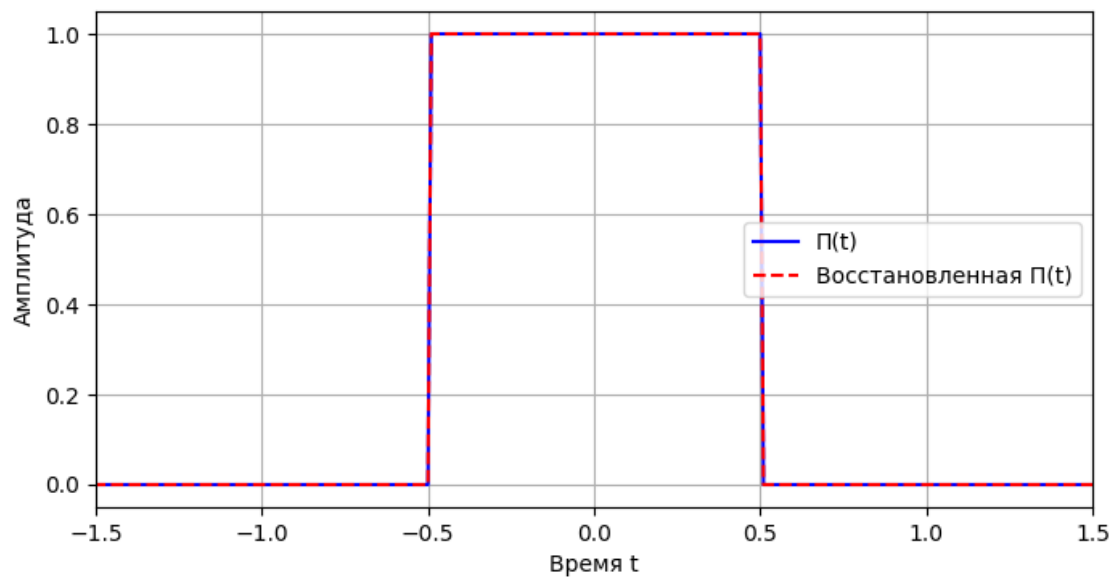


Рис. 36: Сравнительный график при $V = 20$, $\Delta t = 0.02$, $T = 10$, $\Delta\nu = 0.1$.

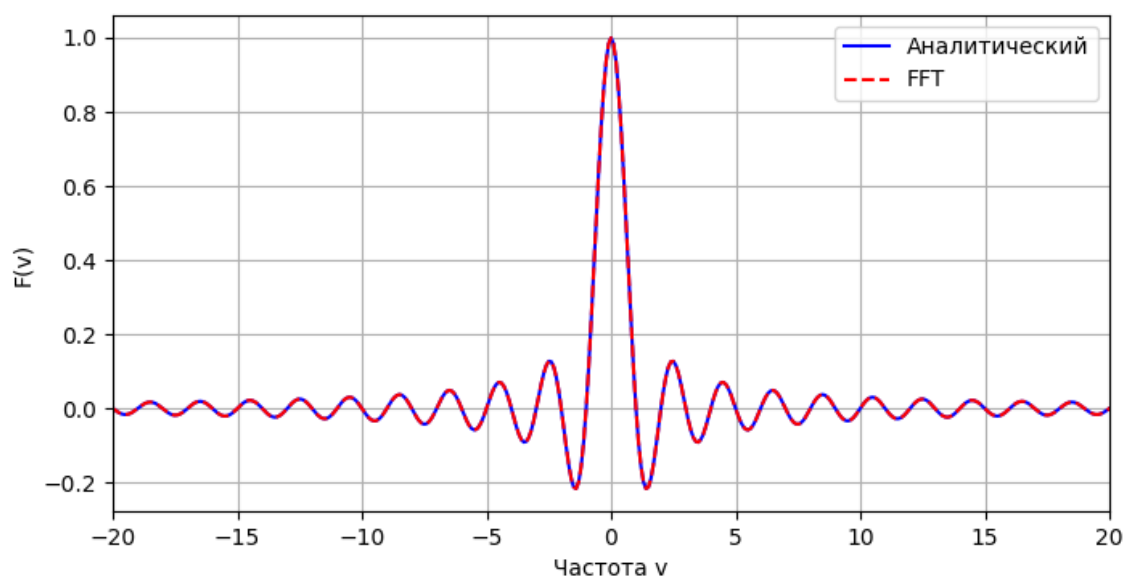


Рис. 37: Сравнительный график образов при $V = 20$, $\Delta t = 0.0005$, $T = 10$, $\Delta\nu = 0.1$, $t = 0.000276s$.

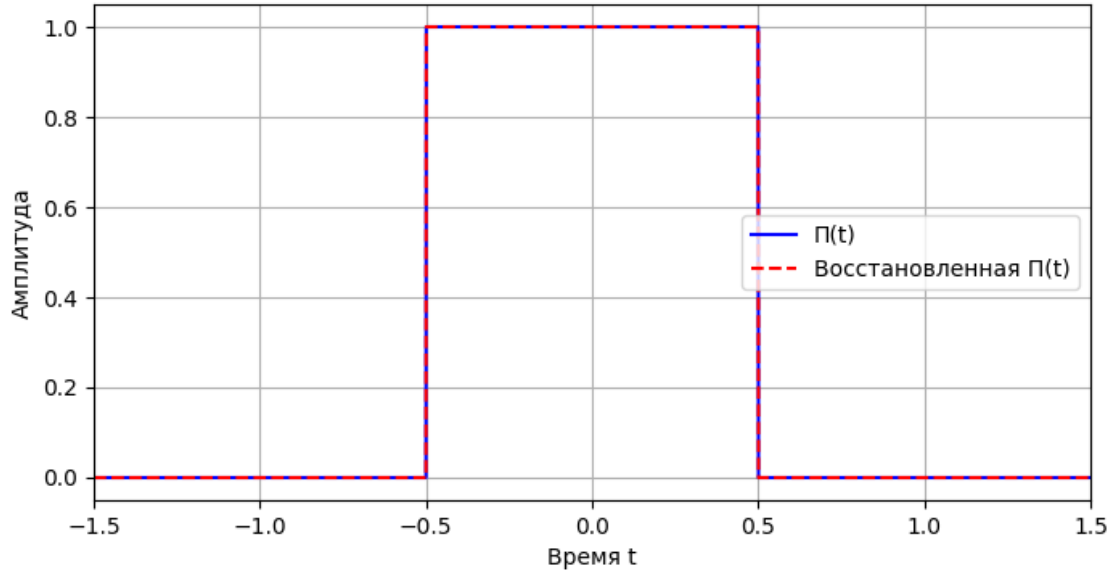


Рис. 38: Сравнительный график при $V = 20$, $\Delta t = 0.0005$, $T = 10$, $\Delta\nu = 0.1$.

Применение корректирующего коэффициента позволяет значительно приблизить численный Фурье-образ к теоретическому непрерывному преобразованию. На графиках спектра видно, что при использовании формулы результирующая кривая FFT становится более гладкой и по фазе совпадает с аналитической функцией.

Посмотрим на время, затрачиваемое на вычисления.

- $T = 5$, $\Delta t = 0.01$, $V = 20$, $d\nu = 0.2$ — время FT = 0.000077 с;
- $T = 5$, $\Delta t = 0.0005$, $V = 20$, $d\nu = 0.2$ — время FT = 0.000206 с;
- $T = 10$, $\Delta t = 0.01$, $V = 20$, $d\nu = 0.1$ — время FT = 0.000113 с;
- $T = 10$, $\Delta t = 0.0005$, $V = 20$, $d\nu = 0.1$ — время FT = 0.000286 с.

Временные сигналы также имеют хорошие показатели, что подтверждает корректность реализации метода.

Сравним все методы вместе. Для этого построим графики для всех методов и сравним их между собой. Параметры возьмем равными оптимальным: $T = 10$, $\Delta t = 0.01$, $V = 20$, $d\nu = 0.1$

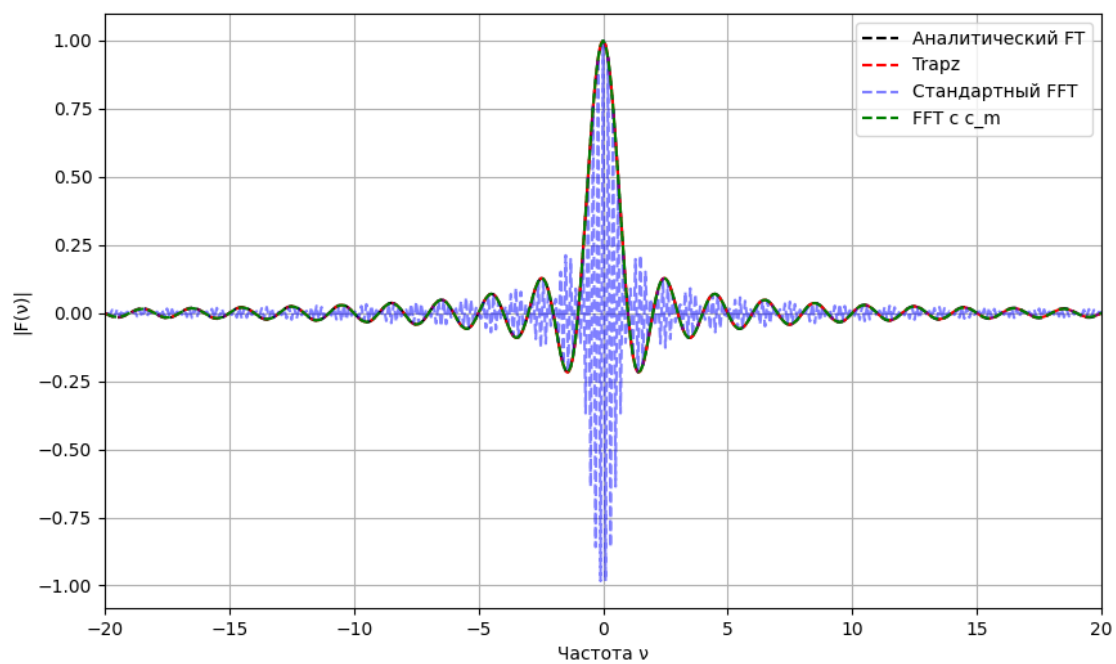


Рис. 39: Сравнительный график образов.

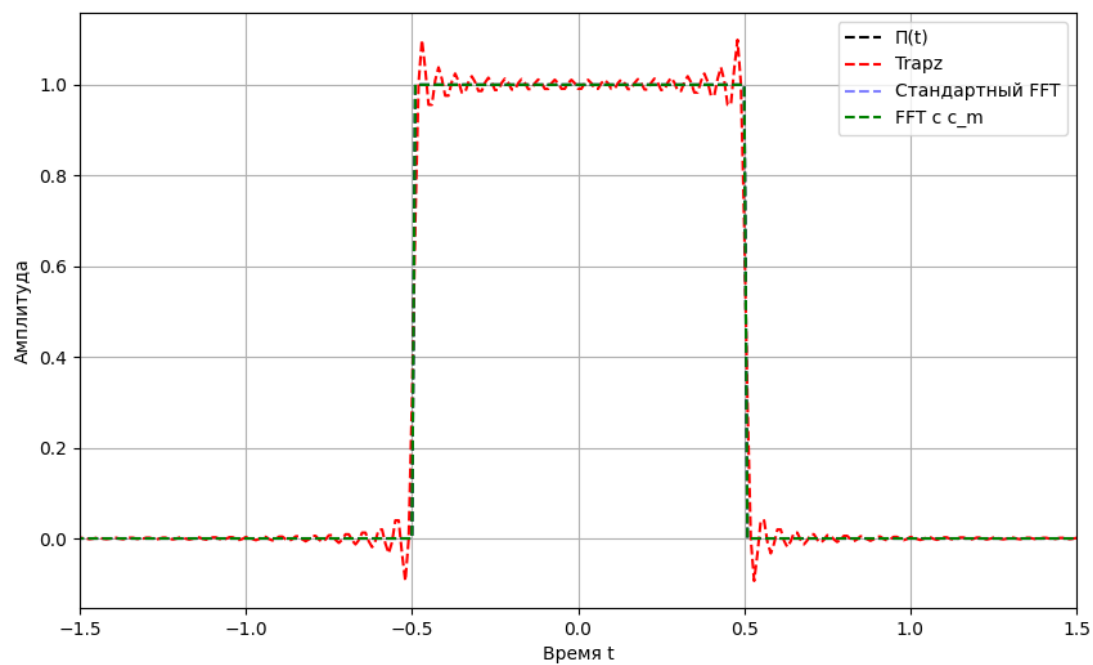


Рис. 40: Сравнительный график.

Также посмотрим на время выполнения:

- Метод численного интегрирования — 0.161712 с;
- Стандартный FFT — 0.000203 с;
- FFT с корректирующими коэффициентами c_m — 0.000084 с.

На графиках видно, что все три метода дают схожие результаты, однако метод FFT с корректирующими коэффициентами c_m показывает наилучшие результаты как по времени выполнения, так и по качеству спектра. Метод численного интегрирования способен дать высокую точность при достаточно мелкой дискретизации, но может быть медленным и подверженным оконным искажениям. Стандартный FFT очень быстр, однако без учёта сдвига временной сетки даёт заметные фазовые искажения как в спектре, так и в восстановленном сигнале.

Проведённые эксперименты показали, что выбор величины шага дискретизации Δt и размера временного интервала T существенно влияет на качество спектрального представления и восстановление исходного сигнала, а также на быстродействие вычислений. При уменьшении Δt число временных отсчетов N возрастает, что приводит к уменьшению шага по частотам $d\nu = \frac{1}{N\Delta t}$ и позволяет получить более детальное и точное представление спектра. Однако уменьшение Δt увеличивает вычислительную нагрузку, что выражается в большем времени работы алгоритма. Аналогично, увеличение интервала T улучшает разрешающую способность в частотной области, поскольку $d\nu$ становится меньше, но также приводит к увеличению числа отсчетов и, следовательно, к замедлению вычислений.

Вывод Новый метод, основанный на использовании FFT с корректирующими коэффициентами c_m , позволяет эффективно находить спектральное представление, которое оказывается намного ближе к аналитическому решению, а восстановленный сигнал совпадает с исходным практически без ошибок. В итоге, метод, объединяющий быстродействие FFT и корректирующие коэффициенты, представляет собой выгодное компромиссное решение, позволяющее достичь высокого качества результата при приемлемом времени вычислений.

Задание 2. Сэмплирование

В этом задании рассматривается сэмплирование сигналов и проверка теоремы Найквиста-Шеннона-Котельникова на двух примерах. Основная цель состоит в том, чтобы показать, как при сэмплировании непрерывного сигнала можно восстановить его с помощью интерполяционной формулы, а также проанализировать влияние дискретизации на качество восстановления.

Исходными функциями являются:

$$y_1(t) = a_1 \sin(\omega_1 t + \varphi_1) + a_2 \sin(\omega_2 t + \varphi_2) \quad \text{и} \quad y_2(t) = \text{sinc}(bt)$$

Возьмем следующие параметры:

$$a_1 = 1, \quad a_2 = 0.5, \quad \omega_1 = 2\pi \cdot 5, \quad \omega_2 = 2\pi \cdot 12, \quad \varphi_1 = \frac{\pi}{2}, \quad \varphi_2 = \frac{\pi}{4}, \quad b = 2.$$

Теоретическая основа

Согласно теореме Найквиста-Шеннона-Котельникова, если спектр исходного сигнала $f(t)$ содержится в полосе $[-B, B]$, то этот сигнал можно безошибочно восстановить по его дискретным отсчётам, если шаг сэмплирования Δt удовлетворяет условию

$$\Delta t < \frac{1}{2B}.$$

Другими словами, частота дискретизации $f_s = \frac{1}{\Delta t}$ должна быть не ниже $2B$. Если это условие выполняется, то восстановление сигнала можно осуществить по интерполяционной формуле Найквиста-Шеннона-Котельникова:

$$f(t) = \sum_{n=-\infty}^{+\infty} f(t_n) \text{sinc}(2B(t - t_n)),$$

где $t_n = \frac{n}{2B}$ – моменты времени, в которые производились отсчёты.

Результаты эксперимента и анализ

Зададим параметры: промежуток времени $T = \{10, 20\}$, шаг сэмплирования $\Delta t = \{0.5, 0.1\}$. Построим графики для первой функции и посмотрим на результаты.

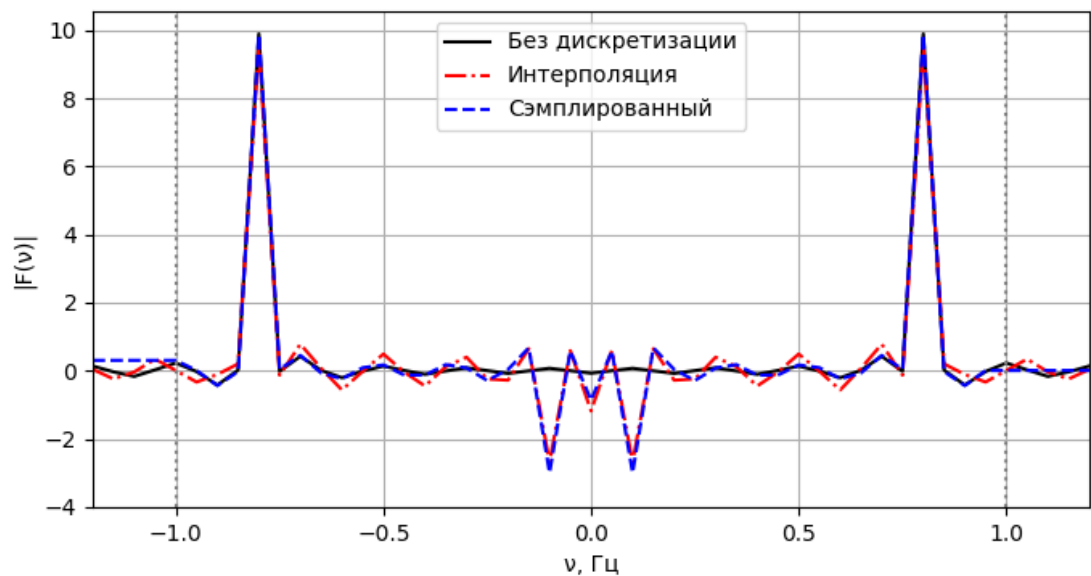


Рис. 41: Сравнительный график образов при $\Delta t = 0.5$, $T = 10$.

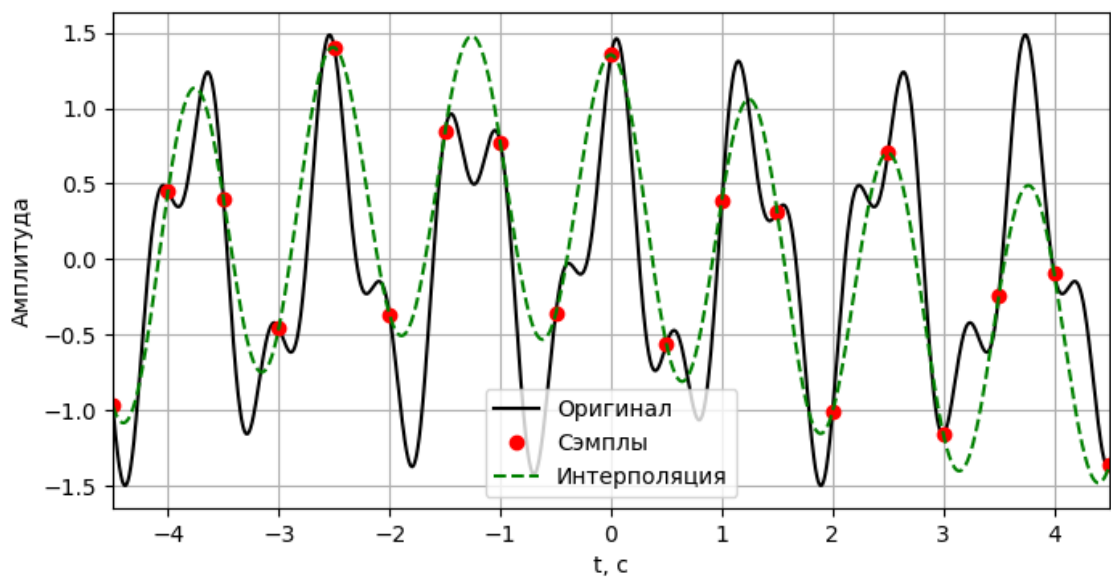


Рис. 42: Сравнительный график при $\Delta t = 0.5$, $T = 10$.

Как мы видим у метода не совсем получилось восстановить сигнал. Попробуем увеличить интервал времени T до 20 секунд и посмотрим на результаты.

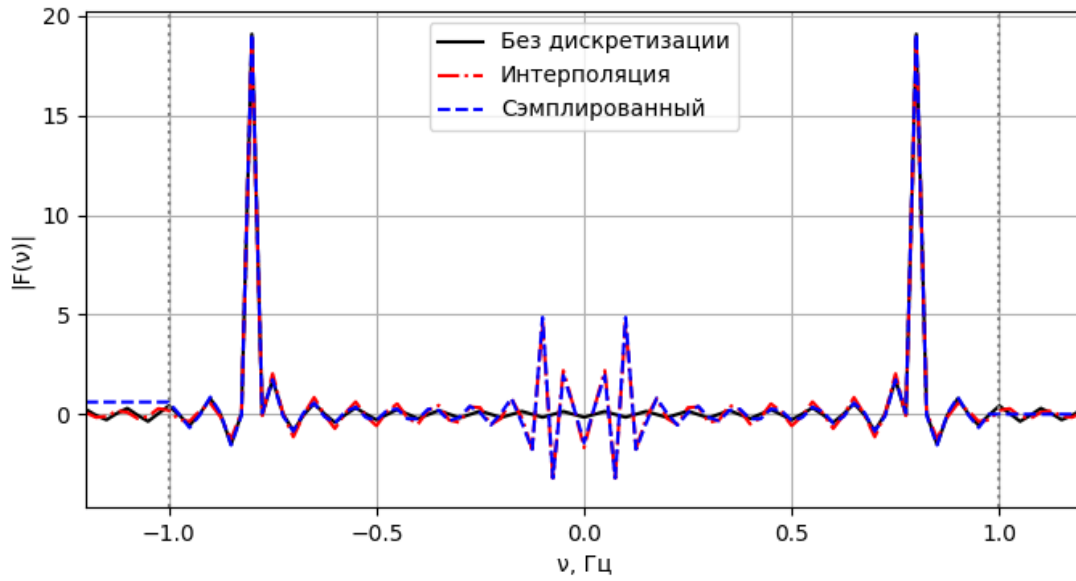


Рис. 43: Сравнительный график образов при $\Delta t = 0.5$, $T = 20$.

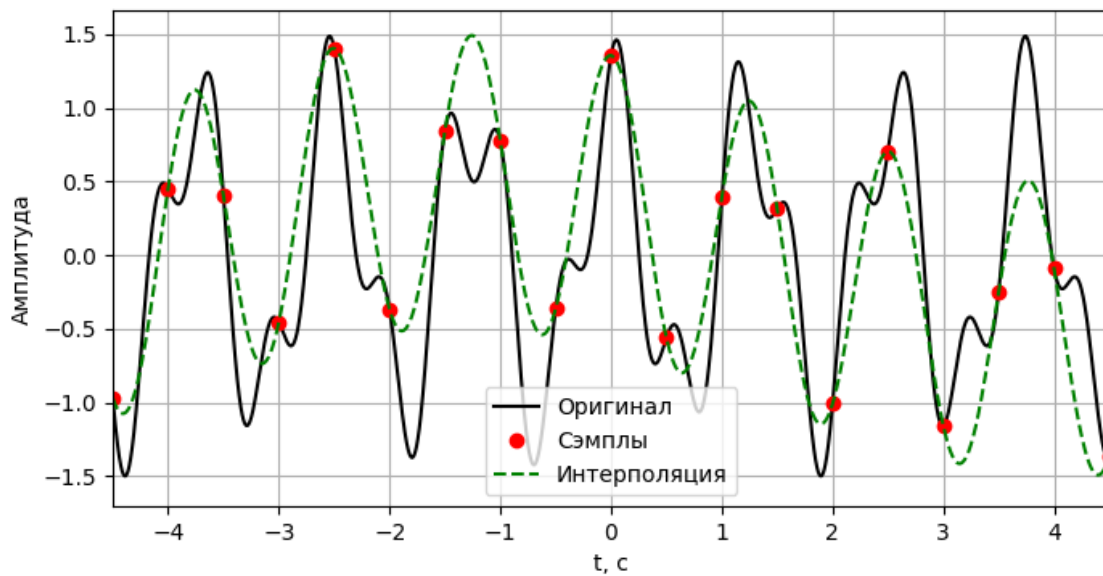


Рис. 44: Сравнительный график при $\Delta t = 0.5$, $T = 20$.

Увеличение длительности окна T уменьшает шаг по частоте $\Delta\nu$, что делает спектры более «острыми», но не приходит к исходному сигналу. Попробуем уменьшить шаг сэмплирования до $\Delta t = 0.1$ и посмотрим на результаты.

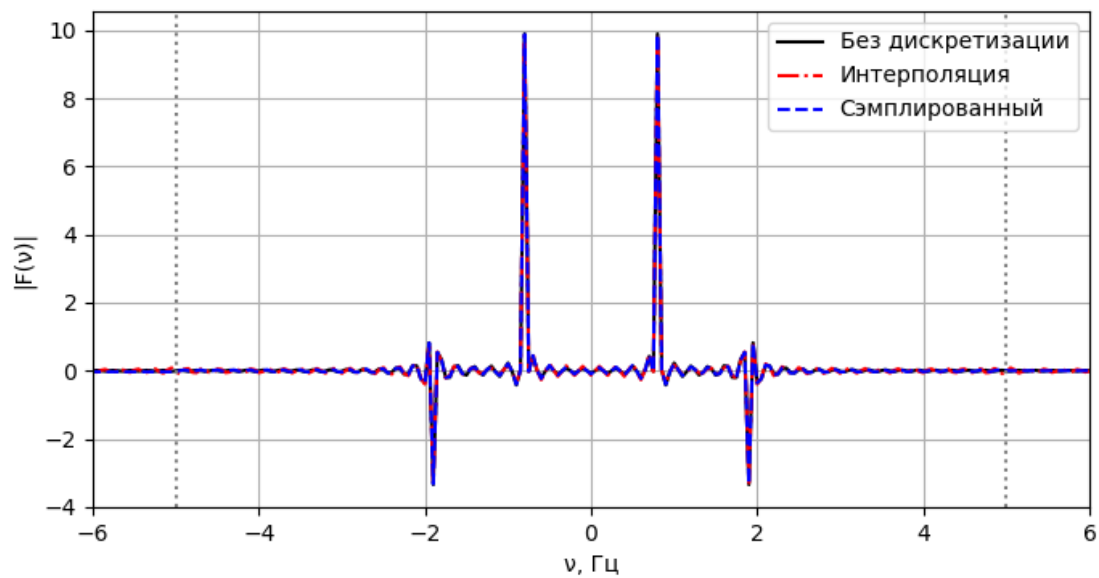


Рис. 45: Сравнительный график образов при $\Delta t = 0.1$, $T = 10$.

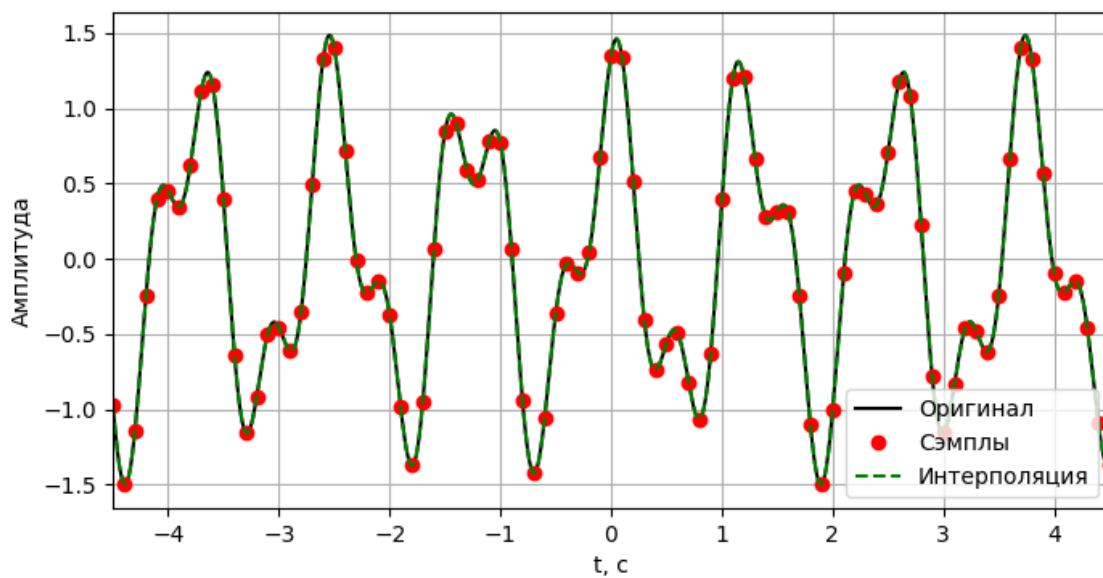


Рис. 46: Сравнительный график при $\Delta t = 0.1$, $T = 10$.

Можем заметить, что сигналы практически совпадают. Но что если увеличить интервал времени T до 20 секунд и посмотреть на результаты.

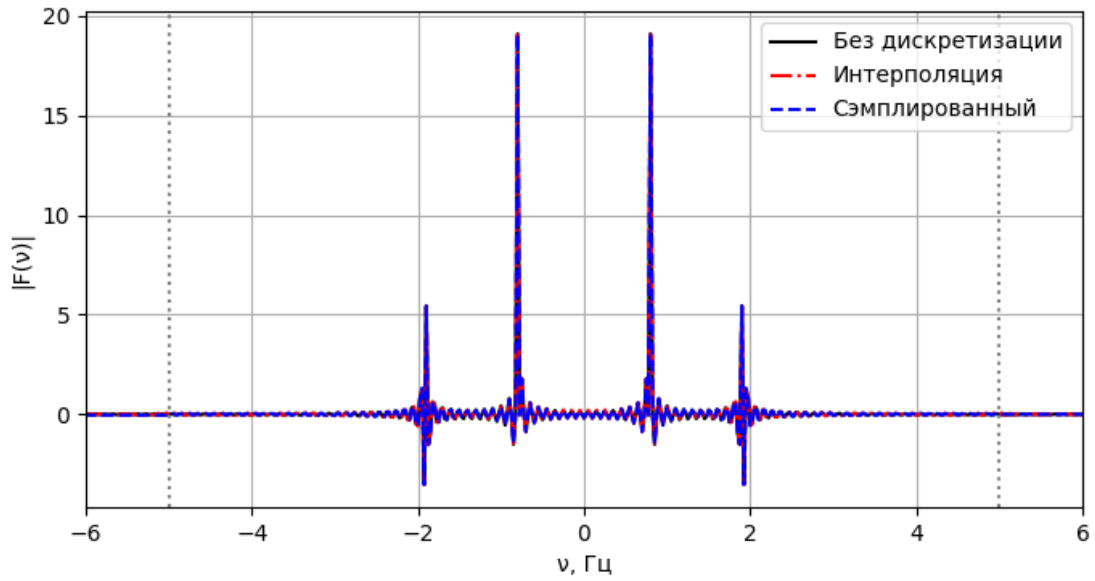


Рис. 47: Сравнительный график образов при $\Delta t = 0.1$, $T = 20$.

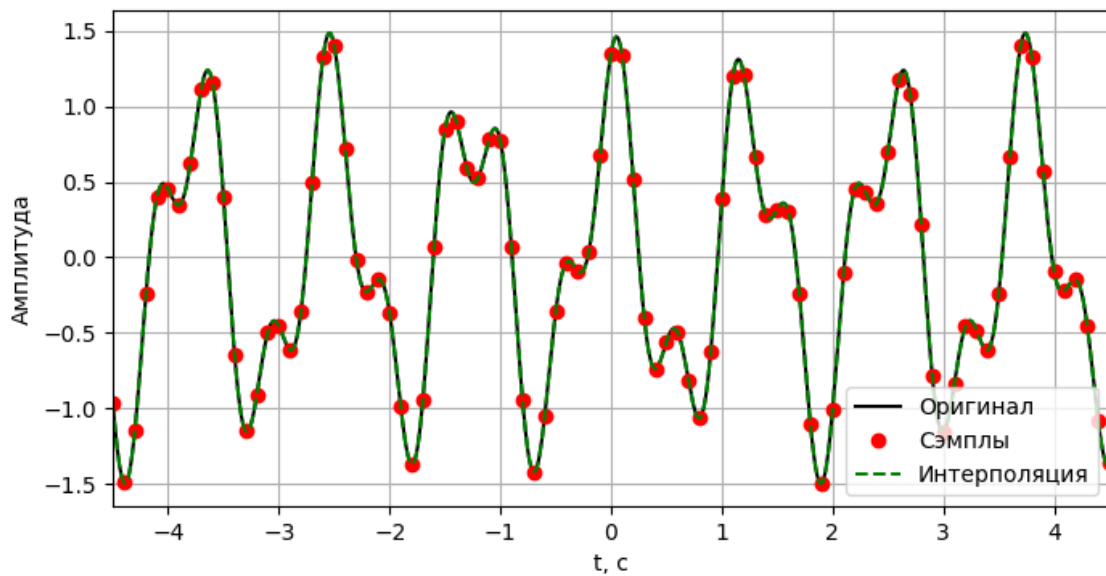


Рис. 48: Сравнительный график при $\Delta t = 0.1$, $T = 20$.

Увеличение промежутка улучшает чёткость и «остроту» спектральных пиков, при этом зона надёжного совпадения остаётся неизменной. Временная интерполяция всегда проходит через исходные точки выборки и остаётся близкой к оригиналу между ними.

Теперь попробуем восстановить вторую функцию. Для этого возьмём те же параметры и посмотрим на результаты.

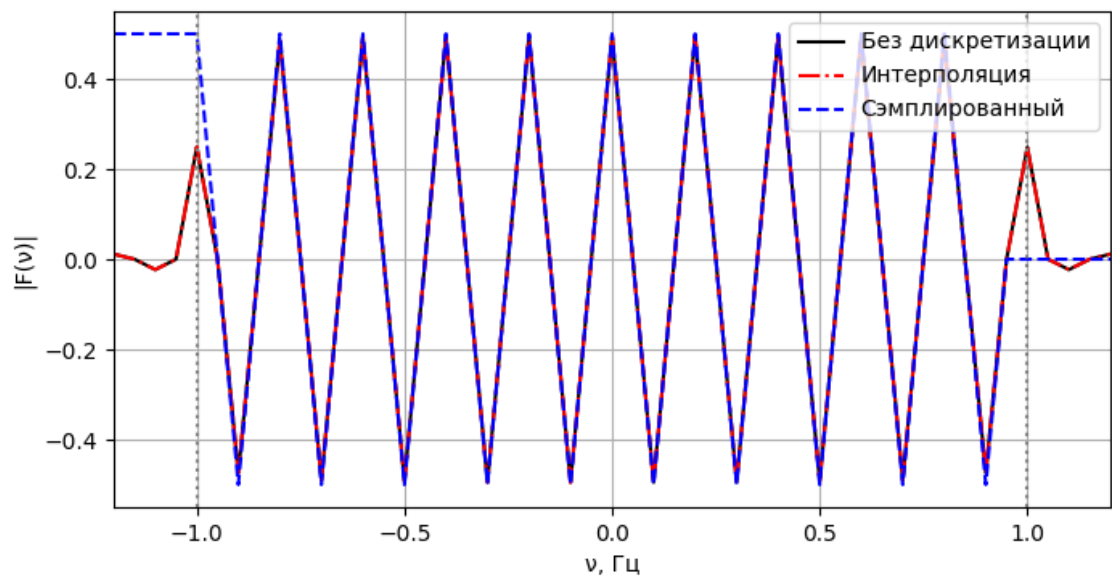


Рис. 49: Сравнительный график образов при $\Delta t = 0.5$, $T = 10$.

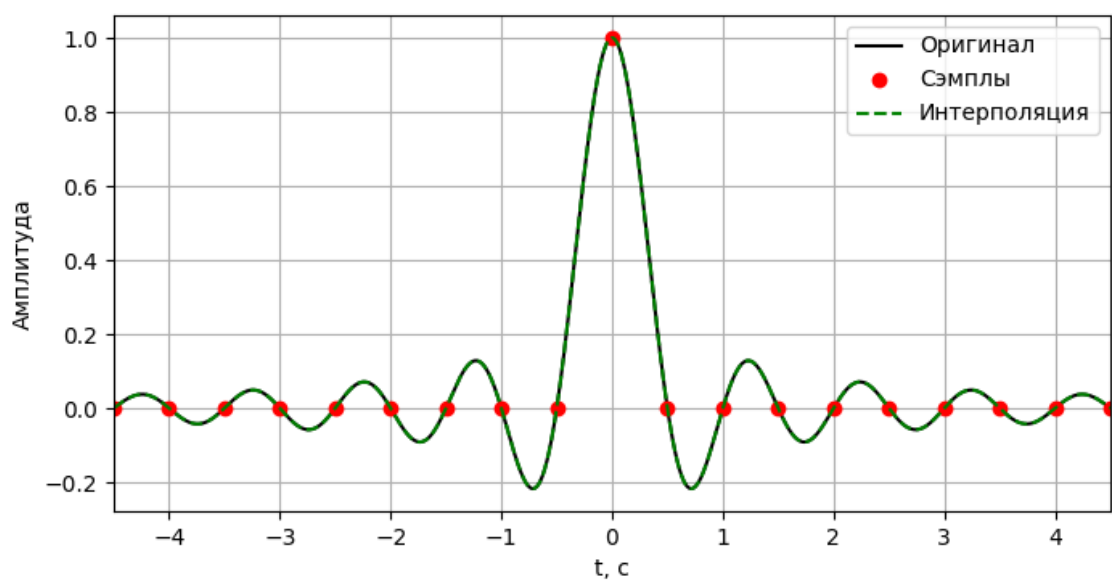


Рис. 50: Сравнительный график при $\Delta t = 0.5$, $T = 10$.

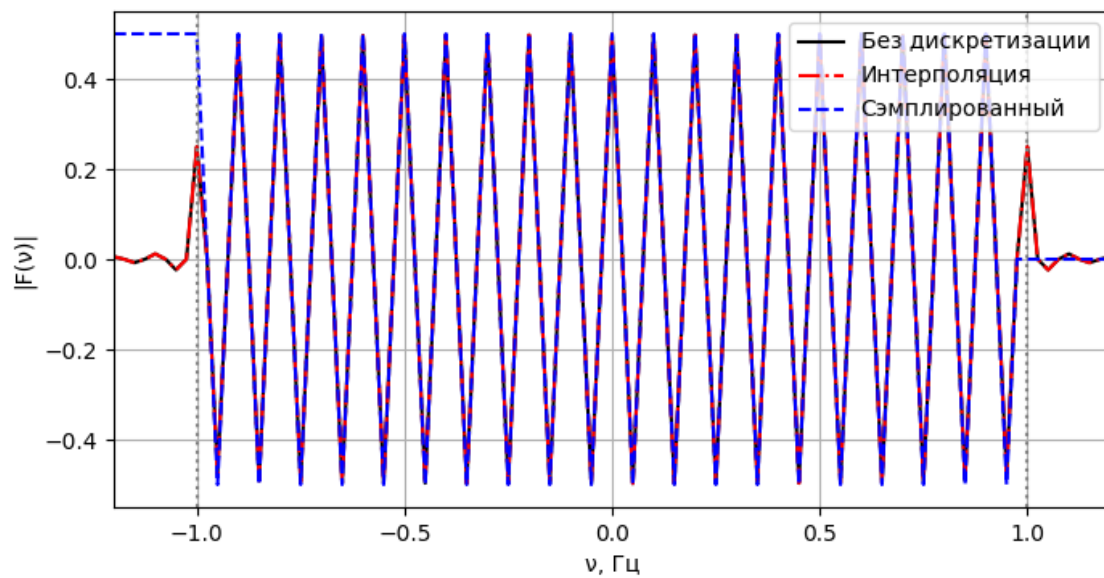


Рис. 51: Сравнительный график образов при $\Delta t = 0.5$, $T = 20$.

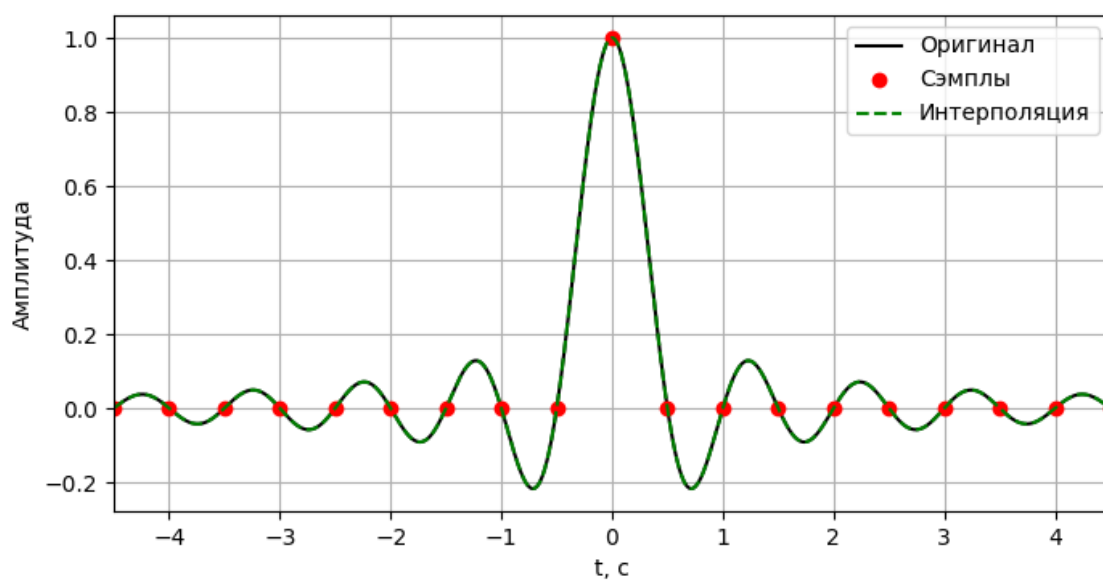


Рис. 52: Сравнительный график при $\Delta t = 0.5$, $T = 20$.

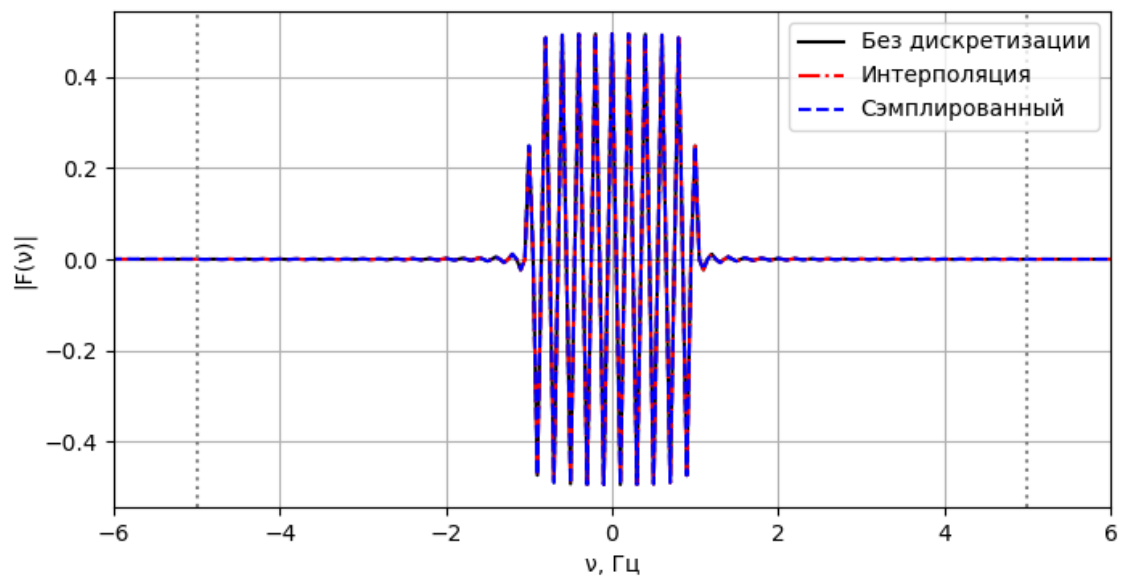


Рис. 53: Сравнительный график образов при $\Delta t = 0.1$, $T = 10$.

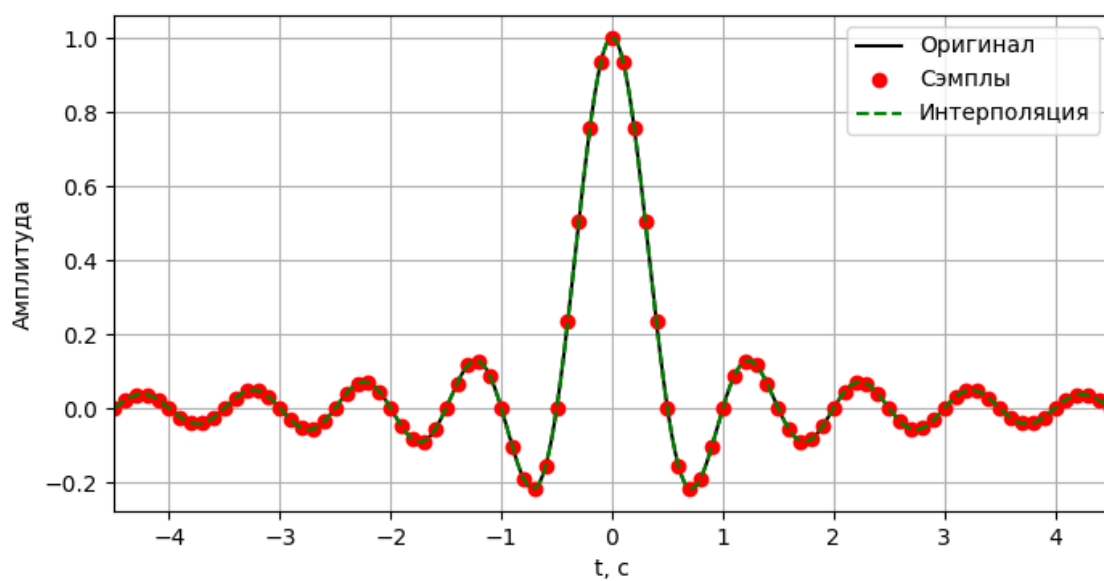


Рис. 54: Сравнительный график при $\Delta t = 0.1$, $T = 10$.

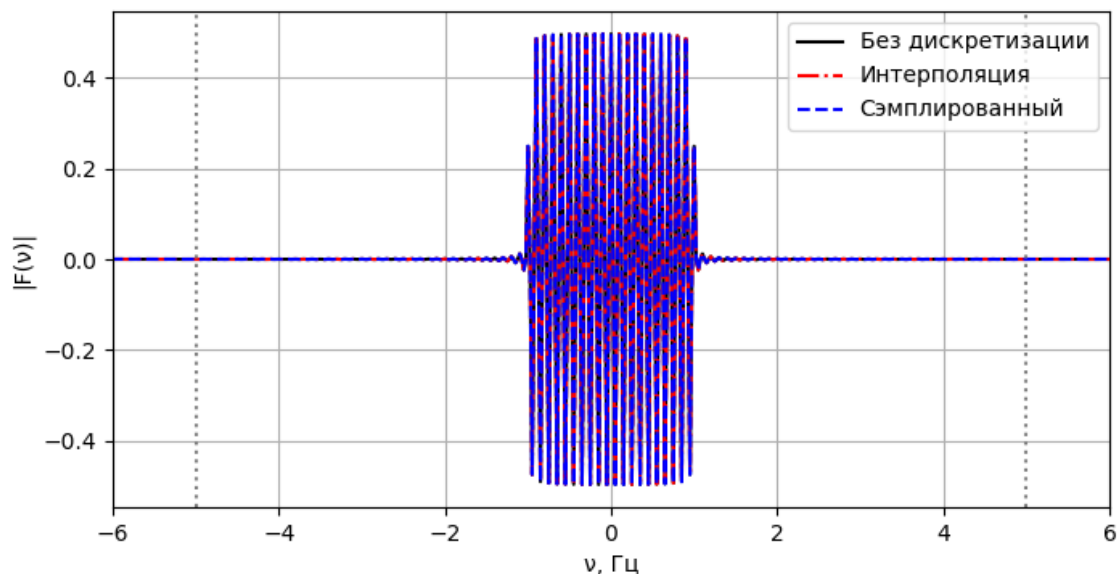


Рис. 55: Сравнительный график образов при $\Delta t = 0.1$, $T = 20$.

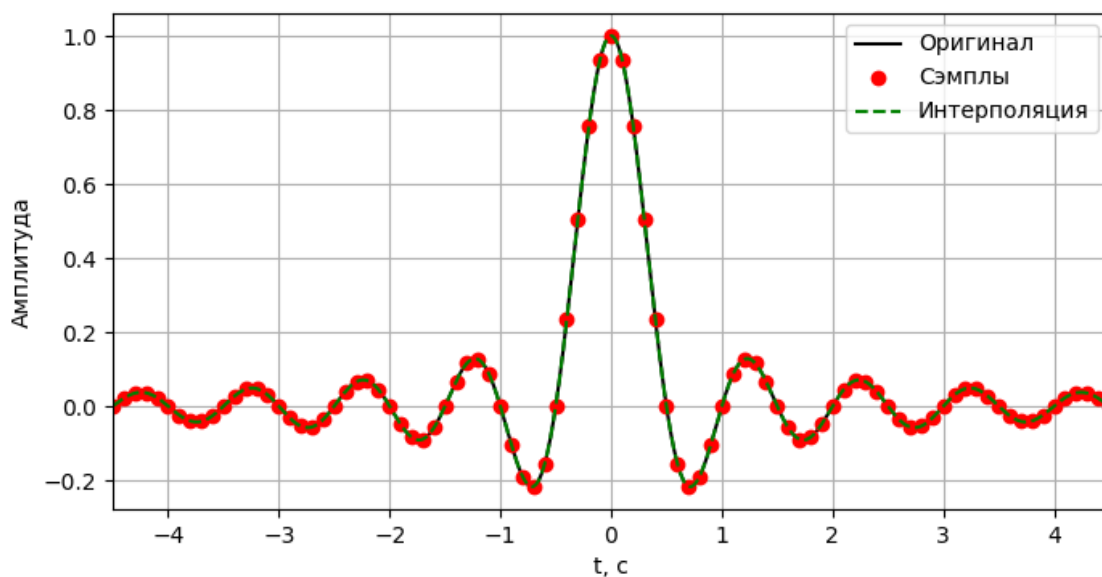


Рис. 56: Сравнительный график при $\Delta t = 0.1$, $T = 20$.

Эксперимент также демонстрирует, что восстановление сигнала из сэмплов с использованием интерполяционной формулы работает корректно, если выполнены условия Найквиста, то есть частота сэмплирования достаточно высока. В случаях, когда сэмплирование происходит с недостаточной частотой, возникают эффекты алиасинга, и восстановленный сигнал существенно отличается от исходного.

Выводы

В ходе выполнения работы были последовательно решены две взаимосвязанные задачи: построение и анализ непрерывного Фурье-преобразования прямоугольного импульса, а также изучение теоремы Найквиста–Шеннона–Котельникова.

- Непрерывное ФТ и численные методы. Метод трапеций дал высокую точность, но при этом оказался значительно медленнее. Простое применение FFT было очень быстрым, однако на выходе наблюдались сдвиги и амплитудные искажения из-за дискретизации и конечного окна. Реализация «умного

FFT» с фазовым множителем c_m позволила получить одновременно точный и быстрый алгоритм — совпадение с аналитическим спектром в пределах заданных параметров было практически идеальным, а обратное преобразование вернуло прямоугольный импульс без заметных артефактов.

- Сэмплирование и интерполяция. На примере $y_1(t) = a_1 \sin(\omega_1 t) + a_2 \sin(\omega_2 t)$ показано, что при нарушении условия $\Delta t > 1/(2B)$ высокие компоненты «сворачиваются», и никакая интерполяция не восстановит их корректно. Функция $\text{sinc}(bt)$ продемонстрировала, что при строгом соблюдении $\Delta t \leq 1/(2B)$ полосу сигнала можно восстановить полностью, даже если сэмплов очень мало. Удлинение окна обработки T улучшает частотное разрешение, но не влияет на базовое условие безошибочной интерполяции.

Приложение

```
1 import numpy as np
2 import matplotlib.pyplot as plt
3 import time
4
5 def plot_time(t, f_original, f_secondary=None, labels=['Исходная', 'Восстановленная'], xlim=
    None, path=None):
6     plt.figure(figsize=(8,4))
7     plt.plot(t, f_original, 'b-', label=labels[0])
8     if f_secondary is not None:
9         plt.plot(t, f_secondary, 'r--', label=labels[1])
10    plt.xlabel('Время t')
11    plt.ylabel('Амплитуда')
12    if xlim:
13        plt.xlim(xlim)
14    plt.legend()
15    plt.grid(True)
16    if path:
17        plt.savefig(path)
18    plt.show()
19
20 def plot_freq(nu, F1, F2=None, labels=['Численный', 'Аналитический'], xlim=None, path=None):
21     plt.figure(figsize=(8,4))
22     plt.plot(nu, F1, 'b-', label=labels[0])
23     if F2 is not None:
24         plt.plot(nu, F2, 'r--', label=labels[1])
25     plt.xlabel('Частота v')
26     plt.ylabel('F(v)')
27     if xlim:
28         plt.xlim(xlim)
29     plt.legend()
30     plt.grid(True)
31     if path:
32         plt.savefig(path)
33     plt.show()
34
35 def rect(t):
36     return np.where(np.abs(t) <= 0.5, 1.0, 0.0)
37
38 def analytical_ft(nu):
39     return np.sinc(nu)
40
41 def numerical_ft_trapezoid(f_t, t, nu):
42     F_num = np.zeros_like(nu, dtype=complex)
43     for i, freq in enumerate(nu):
44         integrand = f_t * np.exp(-2j * np.pi * freq * t)
45         F_num[i] = np.trapezoid(integrand, x=t)
46     return F_num
47
48 def numerical_ft_extend(F_num, V, nu_extended):
49     F_num_extended = np.zeros_like(nu_extended, dtype=complex)
50     mask = (nu_extended >= -V) & (nu_extended < V)
51     F_num_extended[mask] = F_num
52     return F_num_extended
53
54 def inverse_ft_trapz(F_nu, nu, t):
55     f_rec = np.zeros_like(t, dtype=complex)
56     for i, time in enumerate(t):
57         integrand = F_nu * np.exp(2j * np.pi * nu * time)
58         f_rec[i] = np.trapezoid(integrand, x=nu)
59     return f_rec
60
61 def task_1_0():
62     T = 20.0
63     dt = 0.01
64     t = np.arange(-T/2, T/2, dt)
65     V = 50
66     dnu = 1 / T
67     nu = np.arange(-V, V, dnu)
68
69     f = rect(t)
70     F_analytic = np.sinc(nu)
71
72     plot_freq(nu, F_analytic, labels=['Фурье-образ'], xlim=(-7, 7))
73     plot_time(t, f, labels=['П(t)'], xlim=(-1.5, 1.5))
```

```

74
75 def task_1_1():
76     T_candidates = [5, 50]
77     dt_candidates = [1e-2, 5e-4]
78     V_candidates = [5, 20]
79     dnu_candidates = [0.02, 0.5]
80     ft_times = []
81
82     for T in T_candidates:
83         for dt in dt_candidates:
84             t = np.arange(-T/2, T/2, dt)
85             f_t = rect(t)
86             for V in V_candidates:
87                 for dnu in dnu_candidates:
88                     nu = np.arange(-V, V, dnu) + dnu/2
89
90                     start_time = time.time()
91                     F_num = numerical_ft_trapezoid(f_t, t, nu)
92                     ft_time = time.time() - start_time
93                     ft_times.append(f"T={T}, dt={dt}, V={V}, dv={dnu}, FT time = {ft_time:.6f} s")
94                     f_rec = inverse_ft_trapz(F_num, nu, t).real
95
96                     print(f"T={T}, dt={dt}, V={V}, dv={dnu}, FT time = {ft_time:.6f} s")
97
98                     nu_analytic = np.arange(-V-5, V+5, dnu) + dnu/2
99                     F_analytic = analytical_ft(nu_analytic)
100                     F_num = numerical_ft_extend(F_num, V, nu_analytic)
101
102                     plot_freq(nu_analytic, F_analytic, F_num, labels=['Аналитический', 'Численный (
103                         trapezoid)'], xlim=(-V-5, V+5))
104                     plot_time(t, f_t, f_rec, labels=[' $\Pi(t)$ ', 'Восстановленная  $\Pi(t)$ '], xlim=(-1.5, 1.5))
105                     print(*ft_times, sep='\n')
106
107 def task_1_2():
108     V_fixed = 20
109     dnu_fixed = 0.02
110
111     T_candidates = [5, 10]
112     dt_candidates = [2e-2, 5e-4]
113     ft_times = []
114
115     for T in T_candidates:
116         for dt in dt_candidates:
117             t = np.arange(-T/2, T/2, dt)
118             f_t = rect(t)
119             N = len(t)
120
121             dnu = 1.0 / (N * dt)
122             n = np.arange(-N//2, N//2)
123             nu = n * dnu
124
125             start_time = time.time()
126             F_num = np.fft.fftshift(np.fft.fft(f_t)) * dt
127             ft_time = time.time() - start_time
128             ft_times.append(f"T={T}, dt={dt}, V={V_fixed}, dv={dnu}, FT time = {ft_time:.6f} s")
129             f_rec = np.fft.ifft(np.fft.ifftshift(F_num)).real / dt
130
131             print(f"T={T}, dt={dt}, V={V_fixed}, dv={dnu}, FT time = {ft_time:.6f} s")
132
133             F_analytic = analytical_ft(nu)
134
135             plot_freq(nu, F_analytic, F_num, labels=['Аналитический FT', 'FFT'], xlim=(-V_fixed-5,
136                 V_fixed+5))
137             plot_time(t, f_t, f_rec, labels=[' $\Pi(t)$ ', 'Восстановленная  $\Pi(t)$ '], xlim=(-1.5, 1.5))
138             print(*ft_times, sep='\n')
139
140 def task_1_4():
141     T_candidates = [5, 10]
142     dt_candidates = [0.01, 0.0005]
143     V_fixed = 20
144     ft_times = []
145
146     for T in T_candidates:
147         for dt in dt_candidates:
148             t = np.arange(-T/2, T/2, dt)
149             f_t = rect(t)

```

```

148     N = len(t)
149
150     dnu = 1.0 / (N * dt)
151     n = np.arange(-N//2, N//2)
152     nu = n * dnu
153
154     start_time = time.time()
155     F_fft = np.fft.fftshift(np.fft.fft(f_t))
156     ft_time = time.time() - start_time
157     ft_times.append(f"T={T}, dt={dt}, V={V_fixed}, dv={dnu:.4f}, FT time = {ft_time:.6f} s")
158
159     c = dt * np.exp(2 * np.pi * 1j * nu * (T/2))
160     F_corr = F_fft * c
161
162     F_analytic = analytical_ft(nu)
163
164     f_rec = np.fft.ifft(np.fft.ifftshift(F_fft))
165
166     print(f"T={T}, dt={dt}, V={V_fixed}, dv={dnu:.4f}, FT time = {ft_time:.6f} s")
167     plot_freq(nu, F_analytic, F_corr, labels=['Аналитический FT', 'Умное FFT'], xlim=(-
V_fixed, V_fixed))
168     plot_time(t, f_t, f_rec, labels=[' $\Pi(t)$ ', 'Восстановленная  $\Pi(t)$ '], xlim=(-1.5, 1.5))
169
170     print(*ft_times, sep='\n')
171
172 def task_comparative():
173     T = 10
174     dt = 0.01
175     V_fixed = 20
176
177     t = np.arange(-T/2, T/2, dt)
178     f_t = rect(t)
179     N = len(t)
180     ft_times = []
181
182     dnu = 1.0 / (N * dt)
183     n = np.arange(-N//2, N//2)
184     nu_num = n * dnu
185
186     nu_c = np.arange(-V_fixed, V_fixed, 0.02)
187     start_time = time.time()
188     F_trapz = numerical_ft_trapezoid(f_t, t, nu_c)
189     ft_time = time.time() - start_time
190     ft_times.append(f"Trapz: T={T}, dt={dt}, V={V_fixed}, dv={0.02}, FT time = {ft_time:.6f} s")
191
192     f_trapz_rec = inverse_ft_trapz(F_trapz, nu_c, t).real
193
194     start = time.time()
195     F_fft = np.fft.fftshift(np.fft.fft(f_t)) * dt
196     ft_time = time.time() - start
197     ft_times.append(f"fft: T={T}, dt={dt}, V={V_fixed}, dv={dnu}, FT time = {ft_time:.6f} s")
198
199     f_fft_rec = np.fft.ifft(np.fft.ifftshift(F_fft)).real / dt
200
201
202     c = dt * np.exp(2 * np.pi * 1j * nu_num * (T/2))
203     start = time.time()
204     F_corr_fft = np.fft.fftshift(np.fft.fft(f_t))
205     ft_time = time.time() - start
206     ft_times.append(f"smart fft: T={T}, dt={dt}, V={V_fixed}, dv={dnu}, FT time = {ft_time:.6f}
s")
207
208     F_corr = F_corr_fft * c
209     f_corr_rec = np.fft.ifft(np.fft.ifftshift(F_corr_fft))
210
211     F_analytic = analytical_ft(nu_num)
212
213     plt.figure(figsize=(10,6))
214     plt.plot(nu_num, F_analytic, 'k--', label='Аналитический FT')
215     plt.plot(nu_c, F_trapz, 'r--', label='Trapz')
216     plt.plot(nu_num, F_fft, 'b--', label='Стандартный FFT', alpha=0.5)
217     plt.plot(nu_num, F_corr, 'g--', label='FFT с  $c_m$ ')
218     plt.xlabel('Частота  $\nu$ ')
219     plt.ylabel('|F( $\nu$ )|')
220     plt.legend()
221     plt.grid(True)

```

```

222 plt.xlim(-V_fixed, V_fixed)
223 plt.savefig(f"src/task_1_4/comp_freq.png")
224 plt.show()
225
226 plt.figure(figsize=(10,6))
227 plt.plot(t, f_t, 'k--', label='Π(t)')
228 plt.plot(t, f_trapz_rec, 'r--', label='Trapz')
229 plt.plot(t, f_fft_rec, 'b--', label='Стандартный FFT', alpha=0.5)
230 plt.plot(t, f_corr_rec, 'g--', label='FFT с c_m')
231 plt.xlabel('Время t')
232 plt.ylabel('Амплитуда')
233 plt.legend()
234 plt.grid(True)
235 plt.xlim(-1.5, 1.5)
236 plt.savefig(f"src/task_1_4/comp_time.png")
237 plt.show()
238
239 print(*ft_times, sep='\n')
240
241 def y1(t, a1=1.0, a2=0.5, w1=5.0, w2=12.0, phi1=np.pi/2, phi2=np.pi/4):
242     return a1*np.sin(w1*t + phi1) + a2*np.sin(w2*t + phi2)
243
244 def y2(t, b=2.0):
245     return np.sinc(b * t)
246
247 def fft_smart(f_t, dt, T):
248     N = len(f_t)
249     dnu = 1.0 / (N * dt)
250     n = np.arange(-N//2, N//2)
251     nu = n * dnu
252     F = np.fft.fftshift(np.fft.fft(f_t))
253     c = dt * np.exp(2 * np.pi * 1j * nu * (T/2))
254     F *= c
255     return F, nu
256
257 def nyquist_interpolation(t_dense, t_sample, y_sample, B):
258     d = t_dense[:, None] - t_sample[None, :]
259     S = np.sinc(2 * B * d)
260     return S.dot(y_sample)
261
262 def plot_time_signals(t_cont, y_cont, t_samp, y_samp, y_rec, path=None):
263     plt.figure(figsize=(8,4))
264     plt.plot(t_cont, y_cont, 'k-', label='Оригинал')
265     plt.plot(t_samp, y_samp, 'ro', label='Сэмплы')
266     plt.plot(t_cont, y_rec, 'g--', label='Интерполяция')
267     plt.xlim(t_cont.min(), t_cont.max())
268     plt.xlabel('t, c')
269     plt.ylabel('Амплитуда')
270     plt.xlim(-4.5, 4.5)
271     plt.legend()
272     plt.grid(True)
273     if path:
274         plt.savefig(path)
275     plt.show()
276
277 def plot_spectra(nu, F_cont, F_rec, F_samp, B, path=None):
278     plt.figure(figsize=(8,4))
279     plt.plot(nu, F_cont, 'k-', label='Без дискретизации')
280     plt.plot(nu, F_rec, 'r-', label='Интерполяция')
281     plt.plot(nu, F_samp, 'b--', label='Сэмплированный')
282     plt.axvline(B, color='gray', linestyle=':')
283     plt.axvline(-B, color='gray', linestyle=':')
284     plt.xlim(-1.2*B, 1.2*B)
285     plt.xlabel('ν, Гц')
286     plt.ylabel('|F(ν)|')
287     plt.legend()
288     plt.grid(True)
289     if path:
290         plt.savefig(path)
291     plt.show()
292
293 def task2():
294     T_list = [10, 20]
295     dt_dense = 0.001
296     dt_samp_list = [0.5, 0.1]
297     funcs = [y1, y2]

```



```

298 for i, func in enumerate(funcs, 1):
299     for T in T_list:
300         t_cont = np.arange(-T, T, dt_dense)
301         y_cont = func(t_cont)
302         F_cont, nu = fft_smart(y_cont, dt_dense, T)
303
304     for dt_sample in dt_samp_list:
305         t_samp = np.arange(-T, T, dt_sample)
306         y_samp = func(t_samp)
307
308         B = 1 / (2 * dt_sample)
309
310         F_samp_small, nu_samp = fft_smart(y_samp, dt_sample, T)
311         F_samp = np.interp(nu, nu_samp, F_samp_small.real) \
312             + 1j*np.interp(nu, nu_samp, F_samp_small.imag)
313
314         y_rec = nyquist_interpolation(t_cont, t_samp, y_samp, B)
315         F_rec, _ = fft_smart(y_rec, dt_dense, T)
316
317         plot_time_signals(t_cont, y_cont, t_samp, y_samp, y_rec)
318         plot_spectra(nu, F_cont, F_rec, F_samp, B)
319
320
321 if __name__ == '__main__':
322     task_1_0()
323     task_1_1()
324     task_1_2()
325     task_1_4()
326     task_comparative()
327     task2()

```

Листинг 1: Исходный код